

Développement d'un modèle numérique de simulations de trajectoires lagrangiennes dans le cadre de la campagne PROTEVS-2020



Anastasia Volorio-Galéa
Encadrant : Andrea Doglioli
Stage L3 SVT Mer parcours OPB 2020/2021

Le détroit de Gibraltar & la mer d'Alboran

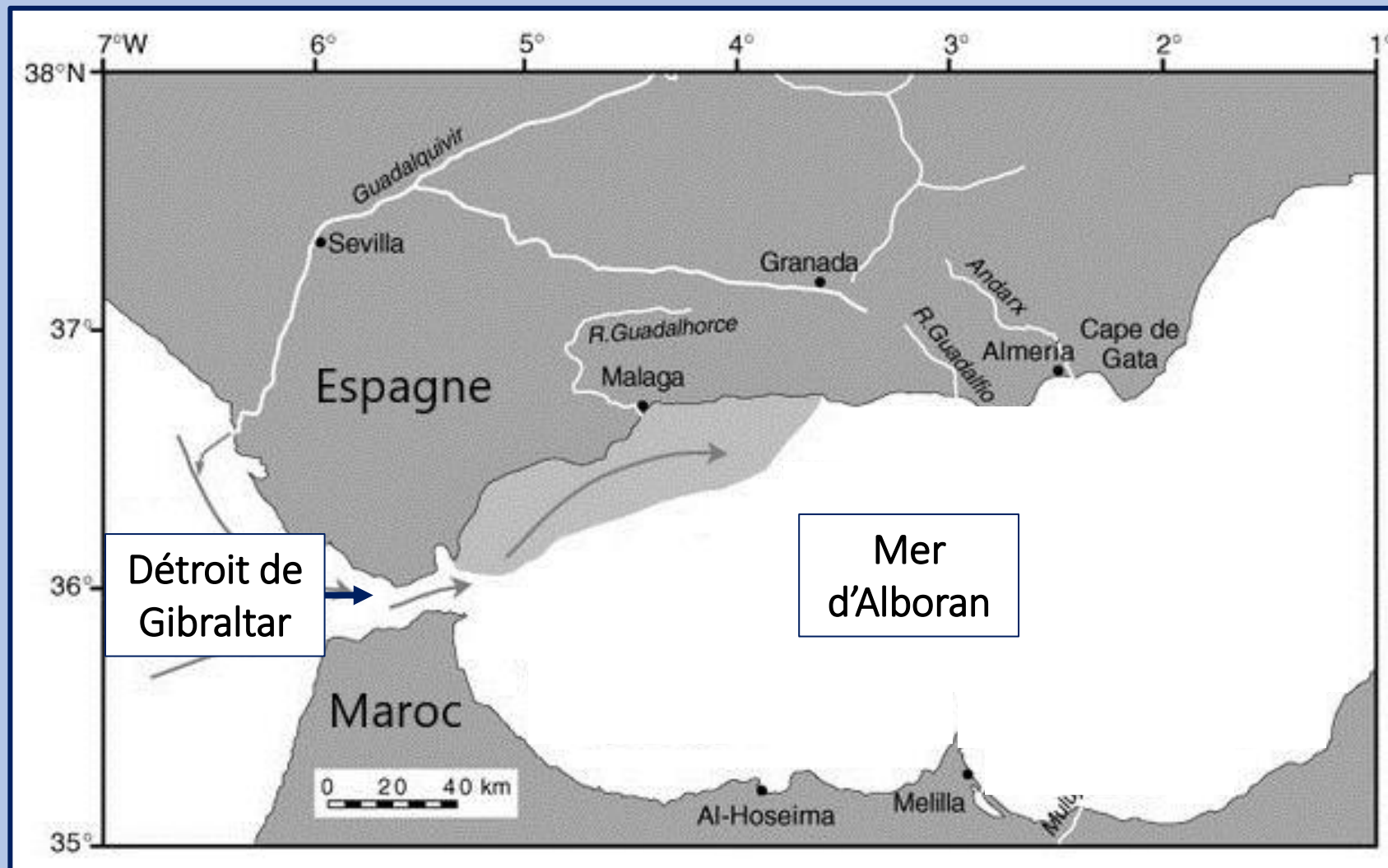


Fig. 1. Situation de surface du détroit de Gibraltar et de la mer d'Alboran

Modifié à partir du site: https://www.researchgate.net/figure/Alboran-gyre-with-the-anticyclonic-Western-Alboran-Gyre-and-the-Eastern-Alboran-Gyre_fig3_313237142

Le détroit de Gibraltar & la mer d'Alboran

Fort gradient de densité

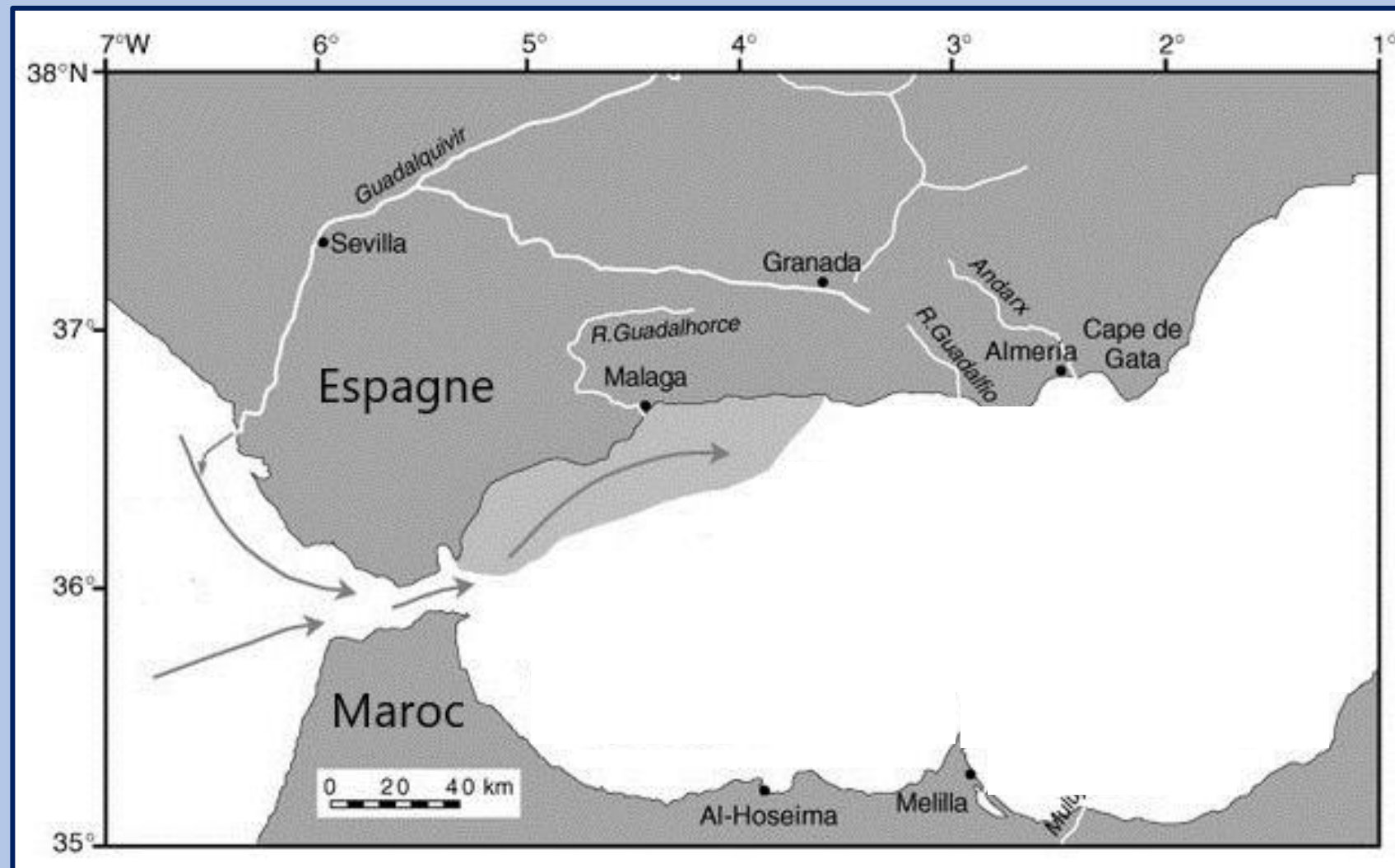


Fig. 1. Situation de surface du détroit de Gibraltar et de la mer d'Alboran

Modifié à partir du site: https://www.researchgate.net/figure/Alboran-gyre-with-the-anticyclonics-Western-Alboran-Gyre-and-the-Eastern-Alboran-Gyre_fig3_313237142

Le détroit de Gibraltar & la mer d'Alboran

Fort gradient de densité



Formation de courants étroits très intenses

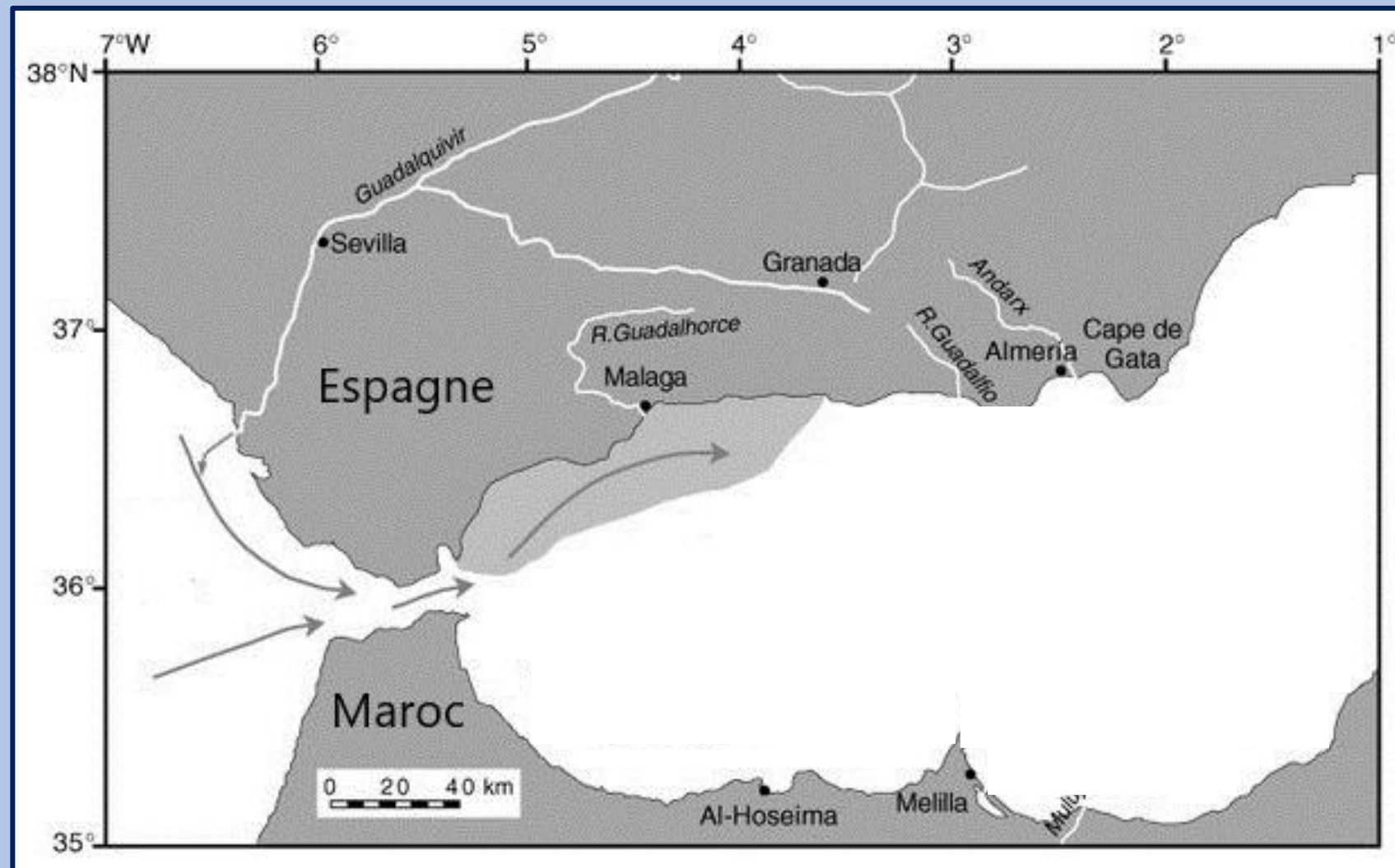


Fig. 1. Situation de surface du détroit de Gibraltar et de la mer d'Alboran

Le détroit de Gibraltar & la mer d'Alboran

Fort gradient de densité

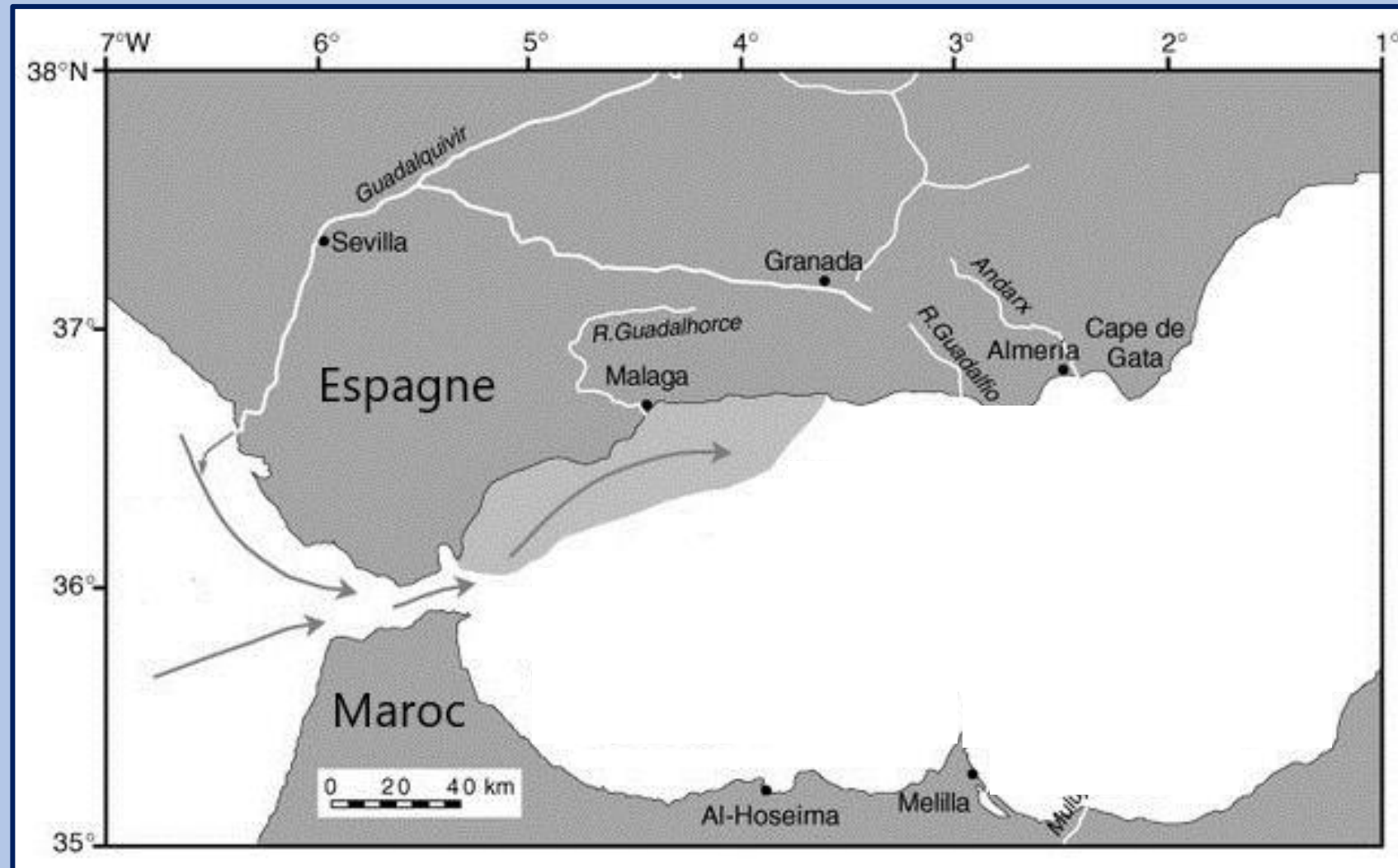


Formation de courants étroits très intenses



Formation de 2 gyres

[Peliz et al., 2015]



Modifié à partir du site: https://www.researchgate.net/figure/Alboran-gyre-with-the-anticyclonics-Western-Alboran-Gyre-and-the-Eastern-Alboran-Gyre_fig3_313237142

Le détroit de Gibraltar & la mer d'Alboran

Fort gradient de densité



Formation de courants étroits très intenses



Formation de 2 gyres

[Peliz et al., 2015]

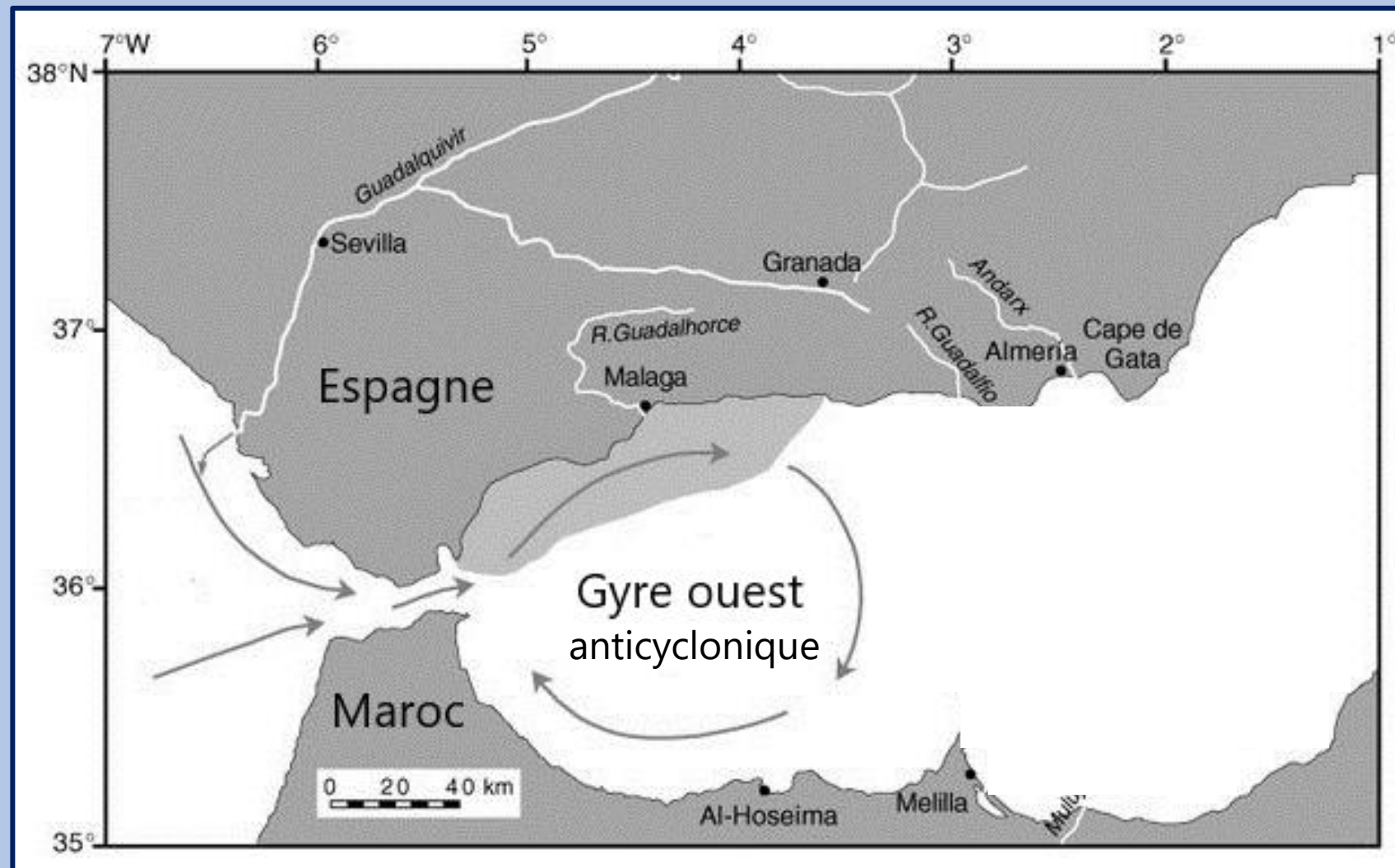


Fig. 1. Situation de surface du détroit de Gibraltar et de la mer d'Alboran

Le détroit de Gibraltar & la mer d'Alboran

Fort gradient de densité



Formation de courants étroits très intenses



Formation de 2 gyres

[Peliz et al., 2015]

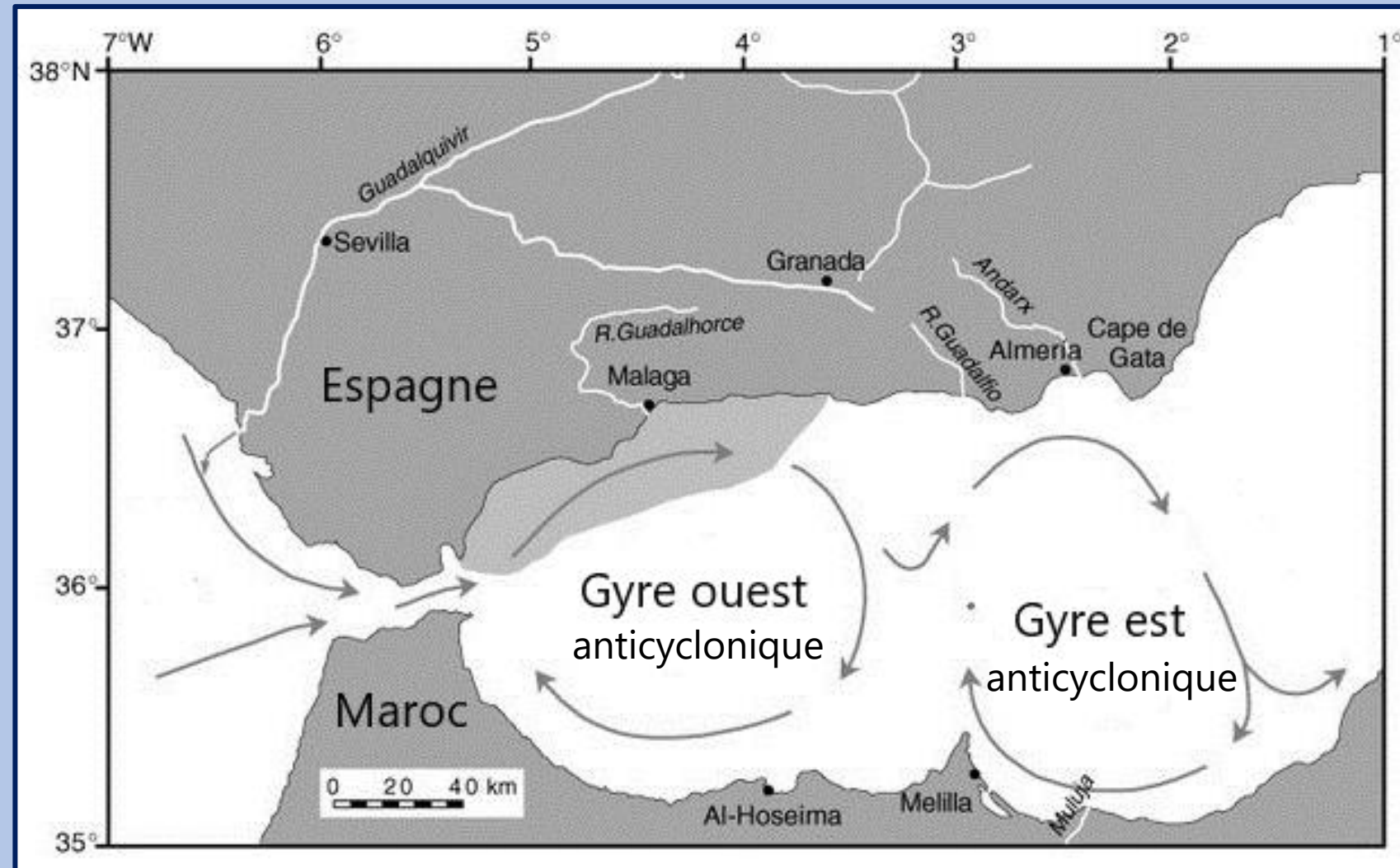


Fig. 1. Situation de surface du détroit de Gibraltar et de la mer d'Alboran

La campagne PROTEVS-2020

Organisme et partenaire

Sous la direction du SHOM

Partenariat avec le MIO

La campagne PROTEVS-2020

Organisme et partenaire

Sous la direction du SHOM

Partenariat avec le MIO

Cadre spatio-temporel

Détroit de Gibraltar &
mer d'Alboran

23/10/2020



<https://www.flotteoceanographique.fr/Nos-moyens/Navires-hauturiens/L-Atalante-engins-et-equipements-mobiles/Navires-hauturiens/L-Atalante>

Fig. 2. Atalante, navire océanographique

La campagne PROTEVS-2020

Organisme et partenaire

Sous la direction du SHOM

Partenariat avec le MIO

Cadre spatio-temporel

Détroit de Gibraltar & mer d'Alboran

Du 3/10/2020 au 23/10/2020

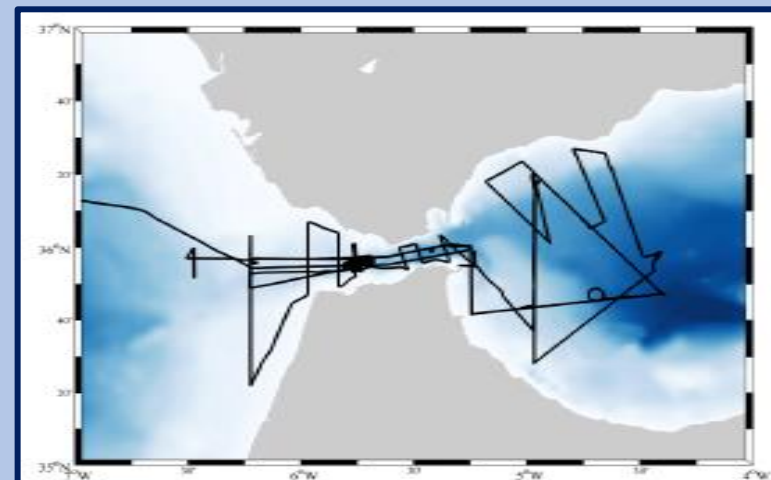
Objectifs de la campagne

Étudier des phénomènes influençant les flux entrant et sortant du détroit

Affiner des modèles de prévision déjà existants



<https://www.flotteoceanographique.fr/Nos-moyens/engins-et-equipements-mobiles/Navires-hauturiers/L-Atalante>



Tiré du Rapport de campagne Protevs-Gibraltar 2020 de Roxane Tzortzis

Fig. 2. Atalante, navire océanographique

Fig. 3. Route de L'Atalante dans le détroit de Gibraltar

Objectifs du stage

Exploitation des données
de courantologie

- Satellitaires
- *In situ* de la campagne

Objectifs du stage

Exploitation des données
de courantologie

- Satellitaires
- *In situ* de la campagne

Simulation numérique

- Des trajectoires de particules lagrangiennes
- En mer d'Alboran pendant la campagne

Objectifs du stage

Exploitation des données
de courantologie

- Satellitaires
- *In situ* de la campagne

Simulation numérique

- Des trajectoires de particules lagrangiennes
- En mer d'Alboran pendant la campagne

Élaboration d'un modèle

- Advection-diffusion programmé en langage Python
- Suivant le schéma d'Euler

Objectifs du stage

Exploitation des données
de courantologie

- Satellitaires
- *In situ* de la campagne

Simulation numérique

- Des trajectoires de particules lagrangiennes
- En mer d'Alboran pendant la campagne

Élaboration d'un modèle

- Advection-diffusion programmé en langage Python
- Suivant le schéma d'Euler

Comparaison

- Trajectoires simulées numériquement
- Trajectoires *in situ* des bouées

Objectifs du stage

Exploitation des données
de courantologie

- Satellitaires
- *In situ* de la campagne

Simulation numérique

- Des trajectoires de particules lagrangiennes
- En mer d'Alboran pendant la campagne

Élaboration d'un modèle

- Advection-diffusion programmé en langage Python
- Suivant le schéma d'Euler

Comparaison

- Trajectoires simulées numériquement
- Trajectoires *in situ* des bouées

Discussion du modèle
développé

- Précision du modèle
- Améliorations envisagées

Objectifs du stage

Exploitation des données de courantologie

- Satellitaires
- *In situ* de la campagne

Simulation numérique

- Des trajectoires de particules lagrangiennes
- En mer d'Alboran pendant la campagne

Élaboration d'un modèle

- Advection-diffusion programmé en langage Python
- Suivant le schéma d'Euler

Comparaison

- Trajectoires simulées numériquement
- Trajectoires *in situ* des bouées

Discussion du modèle développé

- Précision du modèle
- Améliorations envisagées

Application du modèle à la campagne PARTY

Les données de courantologie

Satellitaires



Fig. 4. Données satellitaires téléchargées sur CMEMS

Les données de courantologie

Satellitaires



Fig. 4. Données satellitaires téléchargées sur CMEMS

Les données de courantologie

Satellitaires



Fig. 4. Données satellitaires téléchargées sur CMEMS

Variables extraites

Vitesses géostrophiques
absolues de surface

Hauteur de la surface de la
mer au-dessus du géoïde

Les données de courantologie

Satellitaires



Fig. 4. Données satellitaires téléchargées sur CMEMS

Variables extraites

Vitesses géostrophiques absolues de surface	Hauteur de la surface de la mer au-dessus du géoïde
---	---



Caractéristiques du fichier CMEMS

Fenêtre spatiale	Fenêtre temporelle
<ul style="list-style-type: none">• Mer d'Europe• Résolution de 1/8^{ème} de degré	<ul style="list-style-type: none">• De 2019 jusqu'à nos jours• Mise à jour quotidienne

Les données de courantologie

Satellitaires



Fig. 4. Données satellitaires téléchargées sur CMEMS

In situ

Variables extraites

Vitesses géostrophiques absolues de surface	Hauteur de la surface de la mer au-dessus du géoïde
---	---



Caractéristiques du fichier CMEMS

Fenêtre spatiale	Fenêtre temporelle
<ul style="list-style-type: none">• Mer d'Europe• Résolution de 1/8^{ème} de degré	<ul style="list-style-type: none">• De 2019 jusqu'à nos jours• Mise à jour quotidienne

Les données de courantologie

Satellitaires



Fig. 4. Données satellitaires téléchargées sur CMEMS

Variables extraites

Vitesses géostrophiques absolues de surface

Hauteur de la surface de la mer au-dessus du géoïde



Caractéristiques du fichier CMEMS

Fenêtre spatiale

- Mer d'Europe
- Résolution de 1/8^{ème} de degré

Fenêtre temporelle

- De 2019 jusqu'à nos jours
- Mise à jour quotidienne

In situ

Positions des bouées dérivantes

Relevées toutes les 5 min

À différentes périodes et profondeurs d'ancrage



<http://docplayer.fr/78985993-Les-bouees-meteorologiques.html>

Fig. 5. Bouées dérivantes lagrangiennes

Les données de courantologie

Satellitaires



Fig. 4. Données satellitaires téléchargées sur CMEMS

Variables extraites

Vitesses géostrophiques absolues de surface

Hauteur de la surface de la mer au-dessus du géoïde

Caractéristiques du fichier CMEMS

Fenêtre spatiale

- Mer d'Europe
- Résolution de 1/8^{ème} de degré

Fenêtre temporelle

- De 2019 jusqu'à nos jours
- Mise à jour quotidienne

In situ

Positions des bouées dérivantes

Relevées toutes les 5 min

À différentes périodes et profondeurs d'ancrage

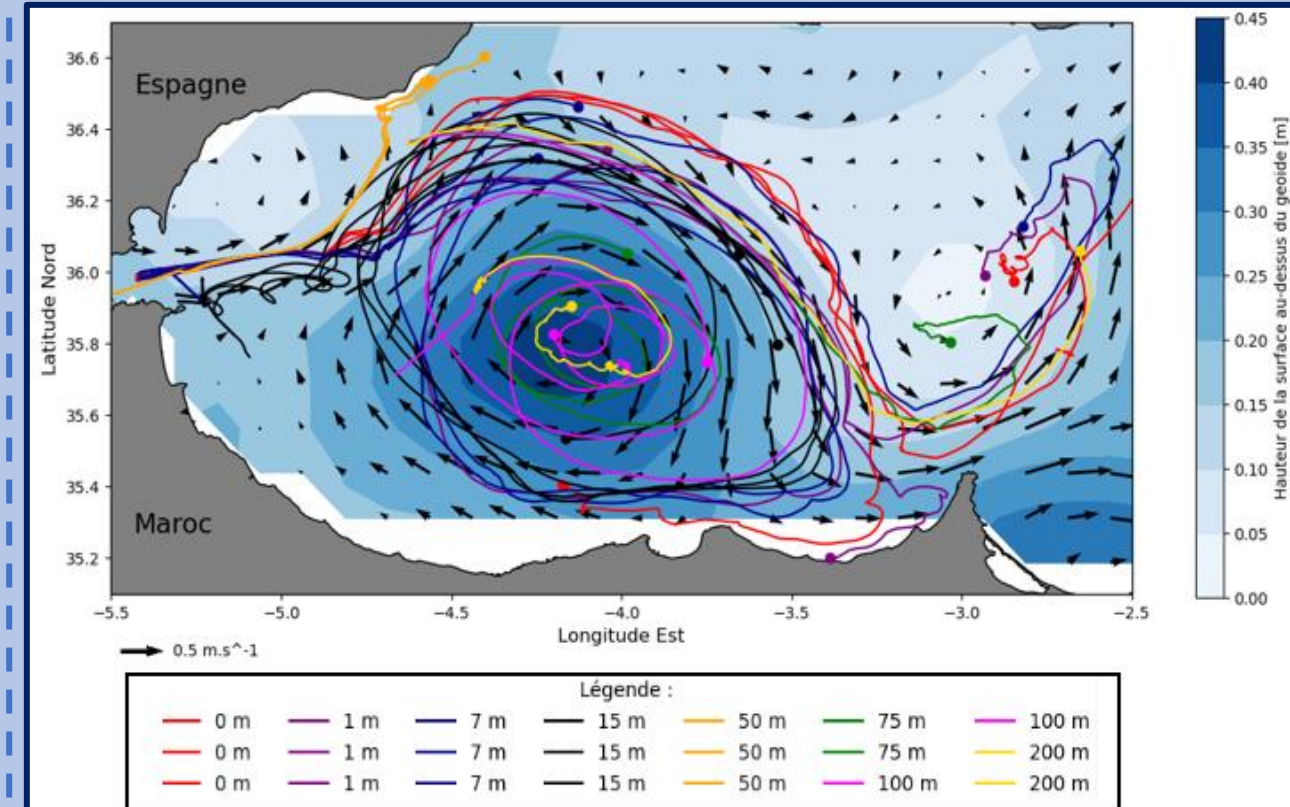


Fig. 6. Trajectoires *in situ* des bouées dérivantes jusqu'au 23-10-2020

Le modèle numérique

Approximations physiques

Trajectoires des particules au cours du temps dans le plan horizontal 2D

Le modèle numérique

Approximations physiques

Trajectoires des particules au cours du temps dans le plan horizontal 2D

$$\vec{v} = \frac{d\vec{r}}{dt} \text{ avec } \vec{r} = (x, y) \text{ et } \vec{v} = (u, v)$$

Le modèle numérique

Approximations physiques

Trajectoires des particules au cours du temps dans le plan horizontal 2D

$$\vec{v} = \frac{d\vec{r}}{dt} \text{ avec } \vec{r} = (x, y) \text{ et } \vec{v} = (u, v)$$

Décomposition de Reynolds

- Cas des écoulements turbulent et non laminaire
- Méthode de lissage de la vitesse dans le temps
 - Composante advective → moyenne
 - Composante diffusive → écart à la moyenne

$$u = \bar{u} + u' \text{ et } v = \bar{v} + v'.$$

Le modèle numérique

Approximations physiques

Trajectoires des particules au cours du temps dans le plan horizontal 2D

$$\vec{v} = \frac{d\vec{r}}{dt} \text{ avec } \vec{r} = (x, y) \text{ et } \vec{v} = (u, v)$$

Décomposition de Reynolds

- Cas des écoulements turbulent et non laminaire
- Méthode de lissage de la vitesse dans le temps
 - Composante advective → moyenne
 - Composante diffusive → écart à la moyenne

$$u = \bar{u} + u' \text{ et } v = \bar{v} + v'.$$

Le modèle numérique

Approximations physiques

Trajectoires des particules au cours du temps dans le plan horizontal 2D

$$\vec{v} = \frac{d\vec{r}}{dt} \text{ avec } \vec{r} = (x, y) \text{ et } \vec{v} = (u, v)$$

Décomposition de Reynolds

- Cas des écoulements turbulent et non laminaire
- Méthode de lissage de la vitesse dans le temps
 - Composante advective → moyenne
 - Composante diffusive → écart à la moyenne

$$u = \bar{u} + u' \text{ et } v = \bar{v} + v'$$

Le modèle numérique

Approximations physiques

Trajectoires des particules au cours du temps dans le plan horizontal 2D

$$\vec{v} = \frac{d\vec{r}}{dt} \text{ avec } \vec{r} = (x, y) \text{ et } \vec{v} = (u, v)$$

Décomposition de Reynolds

- Cas des écoulements turbulent et non laminaire
- Méthode de lissage de la vitesse dans le temps
 - Composante advective → moyenne
 - Composante diffusive → écart à la moyenne

$$u = \bar{u} + u' \text{ et } v = \bar{v} + v'.$$

Approximations numériques

Le modèle numérique

Approximations physiques

Trajectoires des particules au cours du temps dans le plan horizontal 2D

$$\vec{v} = \frac{d\vec{r}}{dt} \text{ avec } \vec{r} = (x, y) \text{ et } \vec{v} = (u, v)$$

Décomposition de Reynolds

- Cas des écoulements turbulent et non laminaire
- Méthode de lissage de la vitesse dans le temps
 - Composante advective → moyenne
 - Composante diffusive → écart à la moyenne

$$u = \bar{u} + u' \text{ et } v = \bar{v} + v'.$$

Approximations numériques

La méthode d'Euler

Le modèle numérique

Approximations physiques

Trajectoires des particules au cours du temps dans le plan horizontal 2D

$$\vec{v} = \frac{d\vec{r}}{dt} \text{ avec } \vec{r} = (x, y) \text{ et } \vec{v} = (u, v)$$

Décomposition de Reynolds

- Cas des écoulements turbulent et non laminaire
- Méthode de lissage de la vitesse dans le temps
 - Composante advective → moyenne
 - Composante diffusive → écart à la moyenne

$$u = \bar{u} + u' \text{ et } v = \bar{v} + v'.$$

Approximations numériques

La méthode d'Euler

- Développement limité

$$\vec{r}^{t+\Delta t} = \vec{r}^t + \vec{v}\Delta t \Rightarrow \vec{v} \simeq \frac{\vec{r}^{t+\Delta t} - \vec{r}^t}{\Delta t}$$

Le modèle numérique

Approximations physiques

Trajectoires des particules au cours du temps dans le plan horizontal 2D

$$\vec{v} = \frac{d\vec{r}}{dt} \text{ avec } \vec{r} = (x, y) \text{ et } \vec{v} = (u, v)$$

Décomposition de Reynolds

- Cas des écoulements turbulent et non laminaire
- Méthode de lissage de la vitesse dans le temps
 - Composante advective → moyenne
 - Composante diffusive → écart à la moyenne

$$u = \bar{u} + u' \text{ et } v = \bar{v} + v'.$$

Approximations numériques

La méthode d'Euler

- Développement limité

$$\vec{r}^{t+\Delta t} = \vec{r}^t + \vec{v}\Delta t \Rightarrow \vec{v} \simeq \frac{\vec{r}^{t+\Delta t} - \vec{r}^t}{\Delta t}$$

- Discréttisation

$$x^{t+\Delta t} = x^t + u\Delta t \text{ et } y^{t+\Delta t} = y^t + v\Delta t$$

Le modèle numérique

Approximations physiques

Trajectoires des particules au cours du temps dans le plan horizontal 2D

$$\vec{v} = \frac{d\vec{r}}{dt} \text{ avec } \vec{r} = (x, y) \text{ et } \vec{v} = (u, v)$$

Décomposition de Reynolds

- Cas des écoulements turbulent et non laminaire
- Méthode de lissage de la vitesse dans le temps
 - Composante advective → moyenne
 - Composante diffusive → écart à la moyenne

$$u = \bar{u} + u' \text{ et } v = \bar{v} + v'.$$

Approximations numériques

La méthode d'Euler

- Développement limité

$$\vec{r}^{t+\Delta t} = \vec{r}^t + \vec{v}\Delta t \Rightarrow \vec{v} \simeq \frac{\vec{r}^{t+\Delta t} - \vec{r}^t}{\Delta t}$$

- Discréttisation

$$x^{t+\Delta t} = x^t + u\Delta t \text{ et } y^{t+\Delta t} = y^t + v\Delta t$$

- Ajout de la décomposition de Reynolds

$$x^{t+\Delta t} = x^t + (\bar{u} + u')\Delta t \text{ et } y^{t+\Delta t} = y^t + (\bar{v} + v')\Delta t$$

Le modèle numérique

Approximations physiques

Trajectoires des particules au cours du temps dans le plan horizontal 2D

$$\vec{v} = \frac{d\vec{r}}{dt} \text{ avec } \vec{r} = (x, y) \text{ et } \vec{v} = (u, v)$$

Décomposition de Reynolds

- Cas des écoulements turbulent et non laminaire
- Méthode de lissage de la vitesse dans le temps
 - Composante advective → moyenne
 - Composante diffusive → écart à la moyenne

$$u = \bar{u} + u' \text{ et } v = \bar{v} + v'.$$

Approximations numériques

La méthode d'Euler

- Développement limité

$$\vec{r}^{t+\Delta t} = \vec{r}^t + \vec{v}\Delta t \Rightarrow \vec{v} \simeq \frac{\vec{r}^{t+\Delta t} - \vec{r}^t}{\Delta t}$$

- Discréttisation

$$x^{t+\Delta t} = x^t + u\Delta t \text{ et } y^{t+\Delta t} = y^t + v\Delta t$$

- Ajout de la décomposition de Reynolds

$$x^{t+\Delta t} = x^t + (\bar{u} + u')\Delta t \text{ et } y^{t+\Delta t} = y^t + (\bar{v} + v')\Delta t$$

Le modèle numérique

Approximations physiques

Trajectoires des particules au cours du temps dans le plan horizontal 2D

$$\vec{v} = \frac{d\vec{r}}{dt} \text{ avec } \vec{r} = (x, y) \text{ et } \vec{v} = (u, v)$$

Décomposition de Reynolds

- Cas des écoulements turbulent et non laminaire
- Méthode de lissage de la vitesse dans le temps
 - Composante advective → moyenne
 - Composante diffusive → écart à la moyenne

$$u = \bar{u} + u' \text{ et } v = \bar{v} + v'.$$

Approximations numériques

La méthode d'Euler

- Développement limité

$$\vec{r}^{t+\Delta t} = \vec{r}^t + \vec{v}\Delta t \Rightarrow \vec{v} \simeq \frac{\vec{r}^{t+\Delta t} - \vec{r}^t}{\Delta t}$$

- Discréttisation

$$x^{t+\Delta t} = x^t + u\Delta t \text{ et } y^{t+\Delta t} = y^t + v\Delta t$$

- Ajout de la décomposition de Reynolds

$$x^{t+\Delta t} = x^t + (\bar{u} + u')\Delta t \text{ et } y^{t+\Delta t} = y^t + (\bar{v} + v')\Delta t$$

- Composante diffusive → nombres générés aléatoirement à partir de la Loi Normale $N(\mu, \sigma)$

Le modèle numérique

Approximations physiques

Trajectoires des particules au cours du temps dans le plan horizontal 2D

$$\vec{v} = \frac{d\vec{r}}{dt} \text{ avec } \vec{r} = (x, y) \text{ et } \vec{v} = (u, v)$$

Décomposition de Reynolds

- Cas des écoulements turbulent et non laminaire
- Méthode de lissage de la vitesse dans le temps
 - Composante advective → moyenne
 - Composante diffusive → écart à la moyenne

$$u = \bar{u} + u' \text{ et } v = \bar{v} + v'.$$

Approximations numériques

La méthode d'Euler

- Développement limité

$$\vec{r}^{t+\Delta t} = \vec{r}^t + \vec{v}\Delta t \Rightarrow \vec{v} \simeq \frac{\vec{r}^{t+\Delta t} - \vec{r}^t}{\Delta t}$$

- Discréttisation

$$x^{t+\Delta t} = x^t + u\Delta t \text{ et } y^{t+\Delta t} = y^t + v\Delta t$$

- Ajout de la décomposition de Reynolds

$$x^{t+\Delta t} = x^t + (\bar{u} + u')\Delta t \text{ et } y^{t+\Delta t} = y^t + (\bar{v} + v')\Delta t$$

- Composante diffusive → nombres générés aléatoirement à partir de la Loi Normale $N(\mu, \sigma)$

$$\mu = 0$$

Le modèle numérique

Approximations physiques

Trajectoires des particules au cours du temps dans le plan horizontal 2D

$$\vec{v} = \frac{d\vec{r}}{dt} \text{ avec } \vec{r} = (x, y) \text{ et } \vec{v} = (u, v)$$

Décomposition de Reynolds

- Cas des écoulements turbulent et non laminaire
- Méthode de lissage de la vitesse dans le temps
 - Composante advective → moyenne
 - Composante diffusive → écart à la moyenne

$$u = \bar{u} + u' \text{ et } v = \bar{v} + v'.$$

Approximations numériques

La méthode d'Euler

- Développement limité

$$\vec{r}^{t+\Delta t} = \vec{r}^t + \vec{v}\Delta t \Rightarrow \vec{v} \simeq \frac{\vec{r}^{t+\Delta t} - \vec{r}^t}{\Delta t}$$

- Discréttisation

$$x^{t+\Delta t} = x^t + u\Delta t \text{ et } y^{t+\Delta t} = y^t + v\Delta t$$

- Ajout de la décomposition de Reynolds

$$x^{t+\Delta t} = x^t + (\bar{u} + u')\Delta t \text{ et } y^{t+\Delta t} = y^t + (\bar{v} + v')\Delta t$$

- Composante diffusive → nombres générés aléatoirement à partir de la Loi Normale $N(\mu, \sigma)$

$$\mu = 0$$

$$\sigma = \sqrt{2K_H \Delta t}$$

Le modèle numérique

Approximations physiques

Trajectoires des particules au cours du temps dans le plan horizontal 2D

$$\vec{v} = \frac{d\vec{r}}{dt} \text{ avec } \vec{r} = (x, y) \text{ et } \vec{v} = (u, v)$$

Décomposition de Reynolds

- Cas des écoulements turbulent et non laminaire
- Méthode de lissage de la vitesse dans le temps
 - Composante advective → moyenne
 - Composante diffusive → écart à la moyenne

$$u = \bar{u} + u' \text{ et } v = \bar{v} + v'.$$

Approximations numériques

La méthode d'Euler

- Développement limité

$$\vec{r}^{t+\Delta t} = \vec{r}^t + \vec{v}\Delta t \Rightarrow \vec{v} \simeq \frac{\vec{r}^{t+\Delta t} - \vec{r}^t}{\Delta t}$$

- Discréttisation

$$x^{t+\Delta t} = x^t + u\Delta t \text{ et } y^{t+\Delta t} = y^t + v\Delta t$$

- Ajout de la décomposition de Reynolds

$$x^{t+\Delta t} = x^t + (\bar{u} + u')\Delta t \text{ et } y^{t+\Delta t} = y^t + (\bar{v} + v')\Delta t$$

- Composante diffusive → nombres générés aléatoirement à partir de la Loi Normale $N(\mu, \sigma)$

$$\mu = 0$$

$$\sigma = \sqrt{2K_H\Delta t}$$

Le modèle numérique

Approximations physiques

Trajectoires des particules au cours du temps dans le plan horizontal 2D

$$\vec{v} = \frac{d\vec{r}}{dt} \text{ avec } \vec{r} = (x, y) \text{ et } \vec{v} = (u, v)$$

Décomposition de Reynolds

- Cas des écoulements turbulent et non laminaire
- Méthode de lissage de la vitesse dans le temps
 - Composante advective → moyenne
 - Composante diffusive → écart à la moyenne

$$u = \bar{u} + u' \text{ et } v = \bar{v} + v'.$$

Approximations numériques

La méthode d'Euler

- Développement limité

$$\vec{r}^{t+\Delta t} = \vec{r}^t + \vec{v}\Delta t \Rightarrow \vec{v} \simeq \frac{\vec{r}^{t+\Delta t} - \vec{r}^t}{\Delta t}$$

- Discréttisation

$$x^{t+\Delta t} = x^t + u\Delta t \text{ et } y^{t+\Delta t} = y^t + v\Delta t$$

- Ajout de la décomposition de Reynolds

$$x^{t+\Delta t} = x^t + (\bar{u} + u')\Delta t \text{ et } y^{t+\Delta t} = y^t + (\bar{v} + v')\Delta t$$

- Composante diffusive → nombres générés aléatoirement à partir de la Loi Normale $N(\mu, \sigma)$

$$\mu = 0$$

$$\sigma = \sqrt{2K_B \Delta t}$$

Tests de sensibilité du pas de temps Δt à partir de la composante advective

Champ stationnaire sur 3 mois

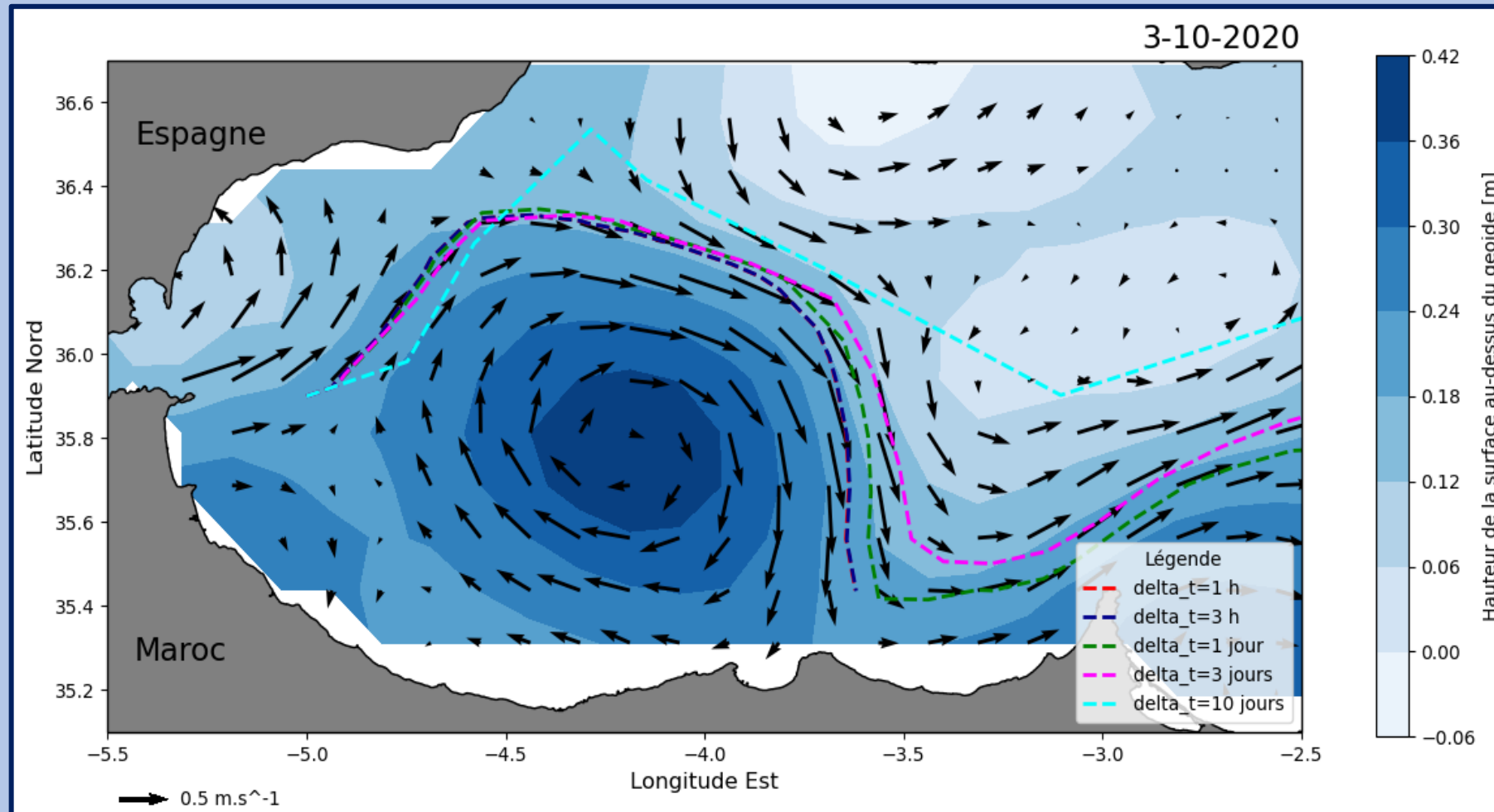


Fig. 7. Test de sensibilité n°1 pour $\Delta t=1\text{ h}$; $\Delta t=3\text{ h}$; $\Delta t=1\text{ j}$; $\Delta t=3\text{ j}$; $\Delta t=10\text{ j}$

Tests de sensibilité du pas de temps Δt à partir de la composante advective

Champ stationnaire sur 3 mois

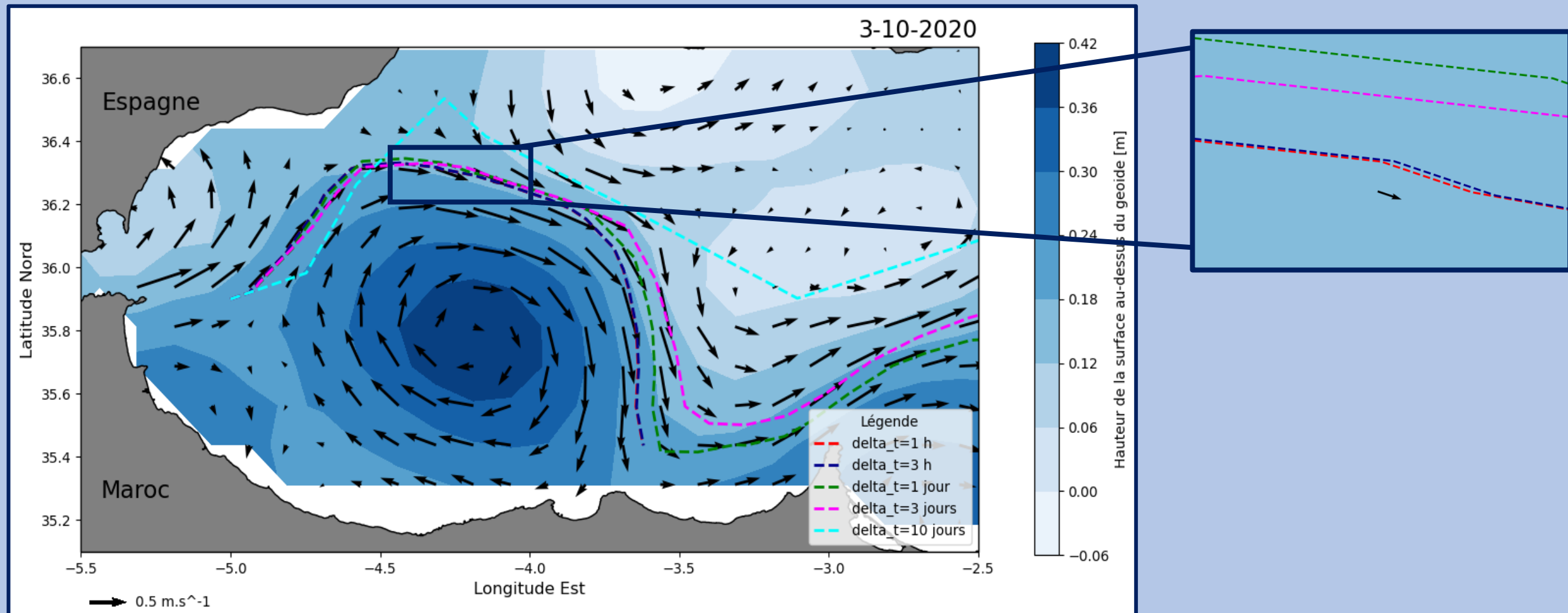


Fig. 7. Test de sensibilité n°1 pour $\Delta t=1 \text{ h}$; $\Delta t=3 \text{ h}$; $\Delta t=1 \text{ j}$; $\Delta t=3 \text{ j}$; $\Delta t=10 \text{ j}$

Tests de sensibilité du pas de temps Δt à partir de la composante advective

Champ stationnaire sur 3 mois

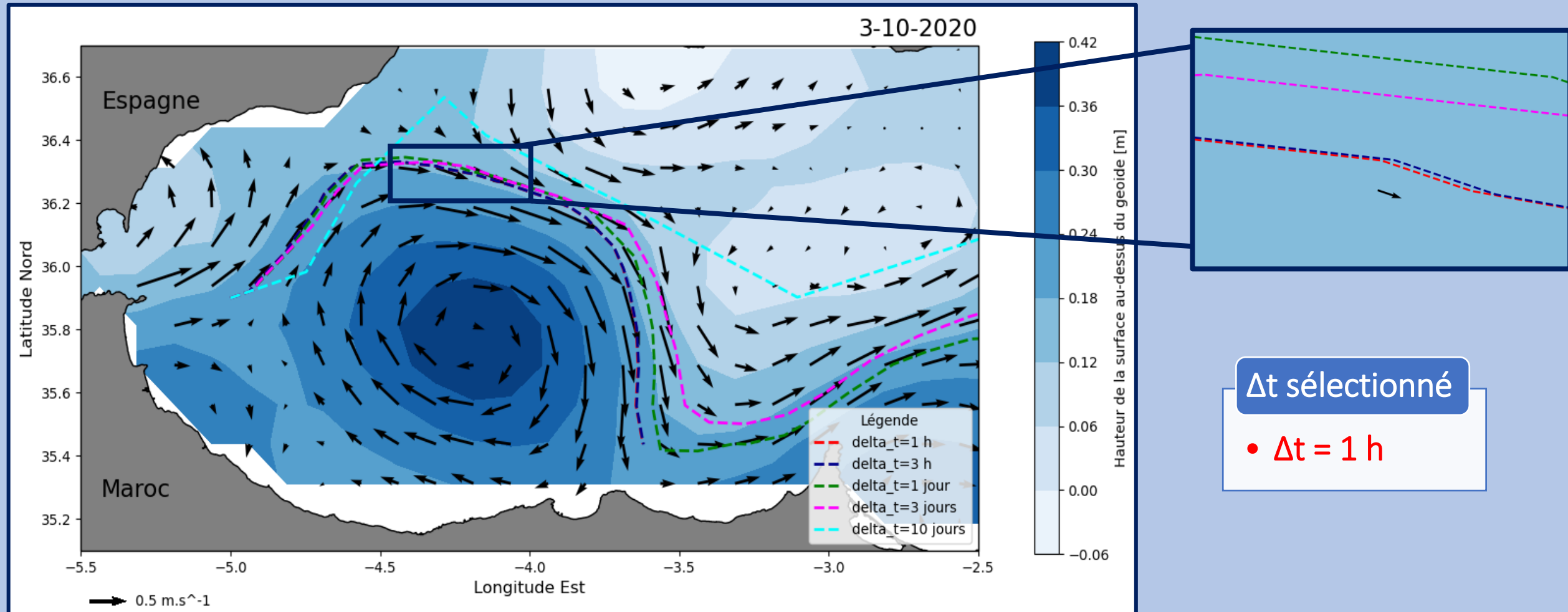


Fig. 7. Test de sensibilité n°1 pour $\Delta t=1 \text{ h}$; $\Delta t=3 \text{ h}$; $\Delta t=1 \text{ j}$; $\Delta t=3 \text{ j}$; $\Delta t=10 \text{ j}$

Tests du coefficient de diffusion K_H

Champ variable sur 10 jours

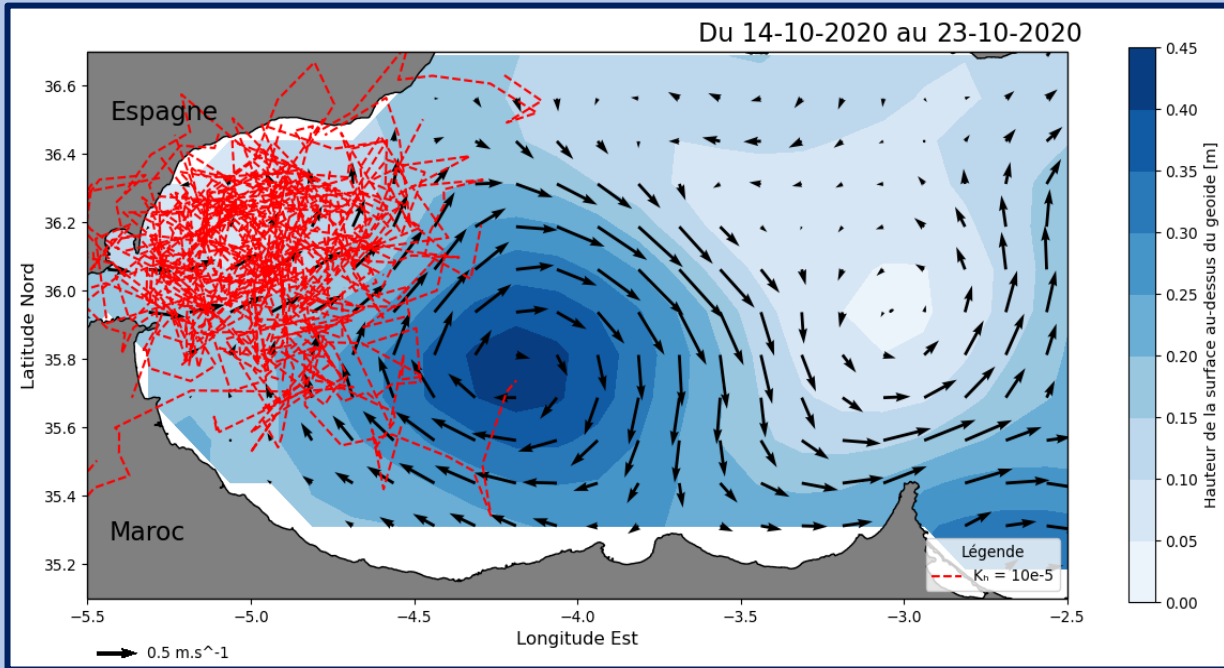


Fig. 8. Test du coefficient de diffusion pour $K_H = 10^{-5} \text{ m}^2 \cdot \text{s}^{-1}$

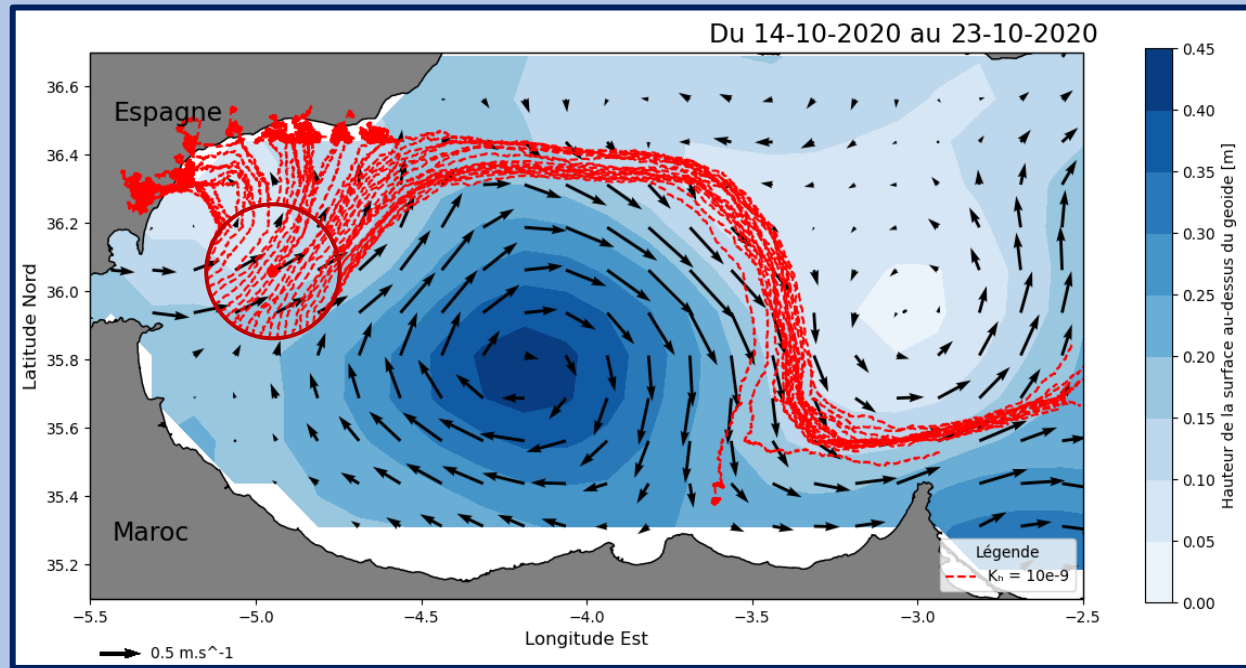


Fig. 9. Test du coefficient de diffusion pour $K_H = 10^{-9} \text{ m}^2 \cdot \text{s}^{-1}$

Tests du coefficient de diffusion K_H

Champ variable sur 10 jours

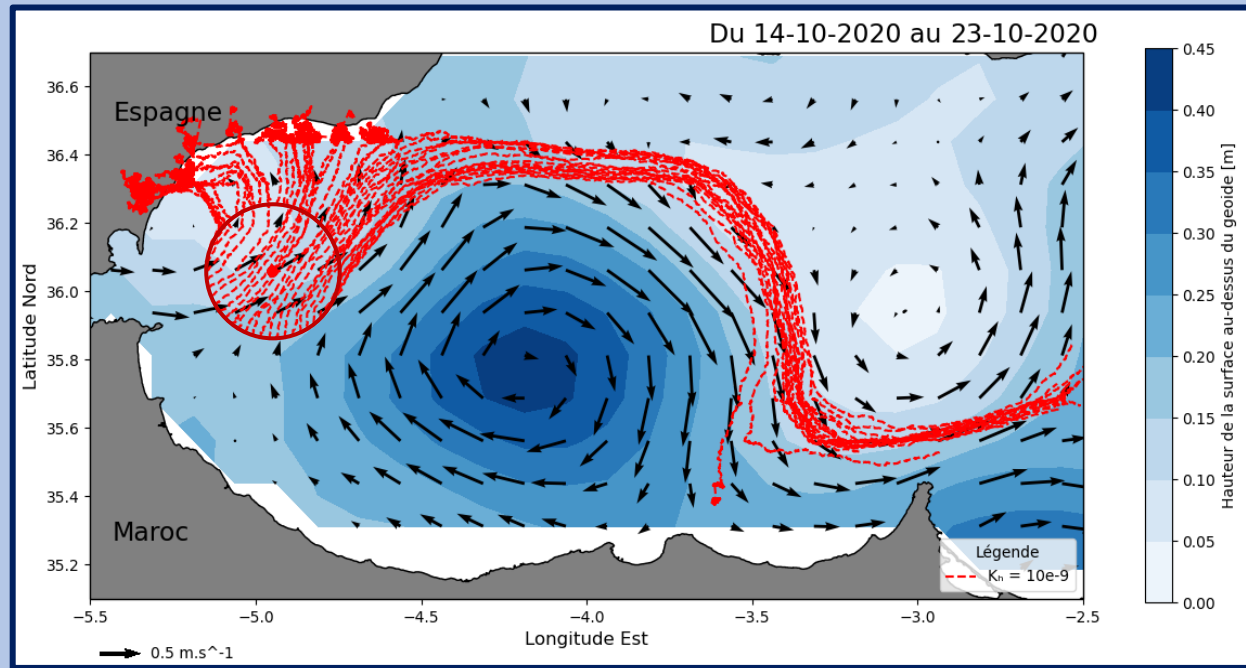
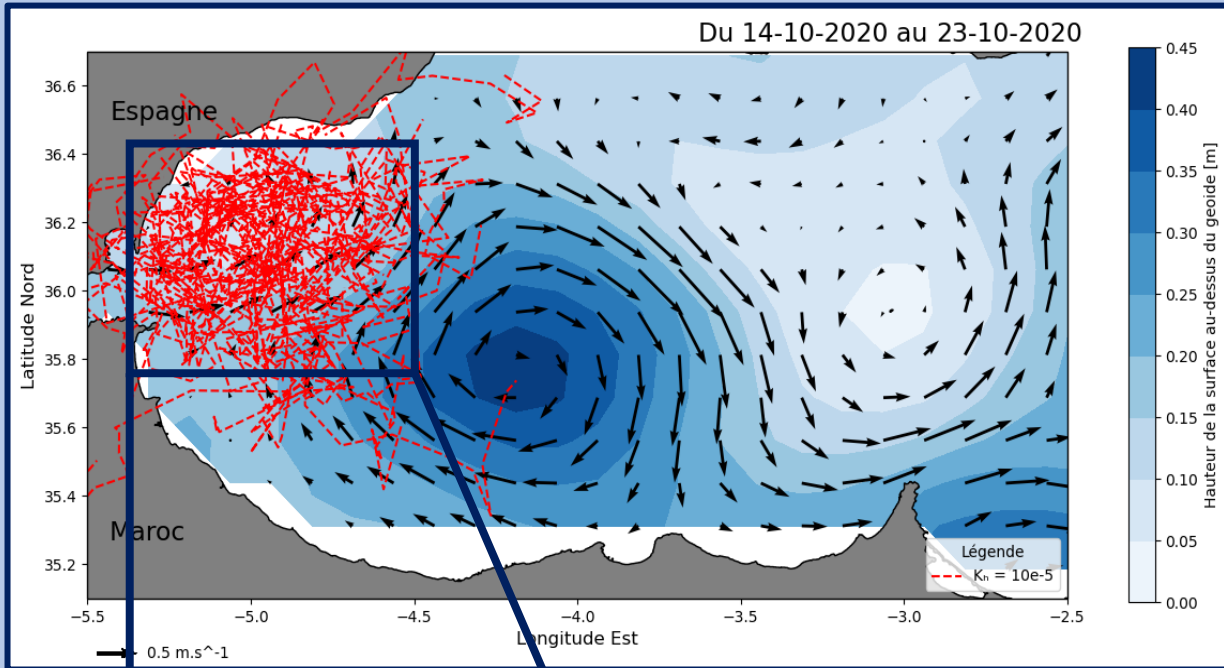
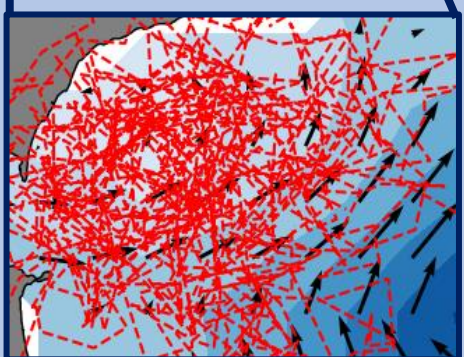


Fig. 8. Test du coefficient de diffusion pour $K_H = 10^{-5} \text{ m}^2.\text{s}^{-1}$

Fig. 9. Test du coefficient de diffusion pour $K_H = 10^{-9} \text{ m}^2.\text{s}^{-1}$



La diffusion prédomine
l'advection

Tests du coefficient de diffusion K_H

Champ variable sur 10 jours

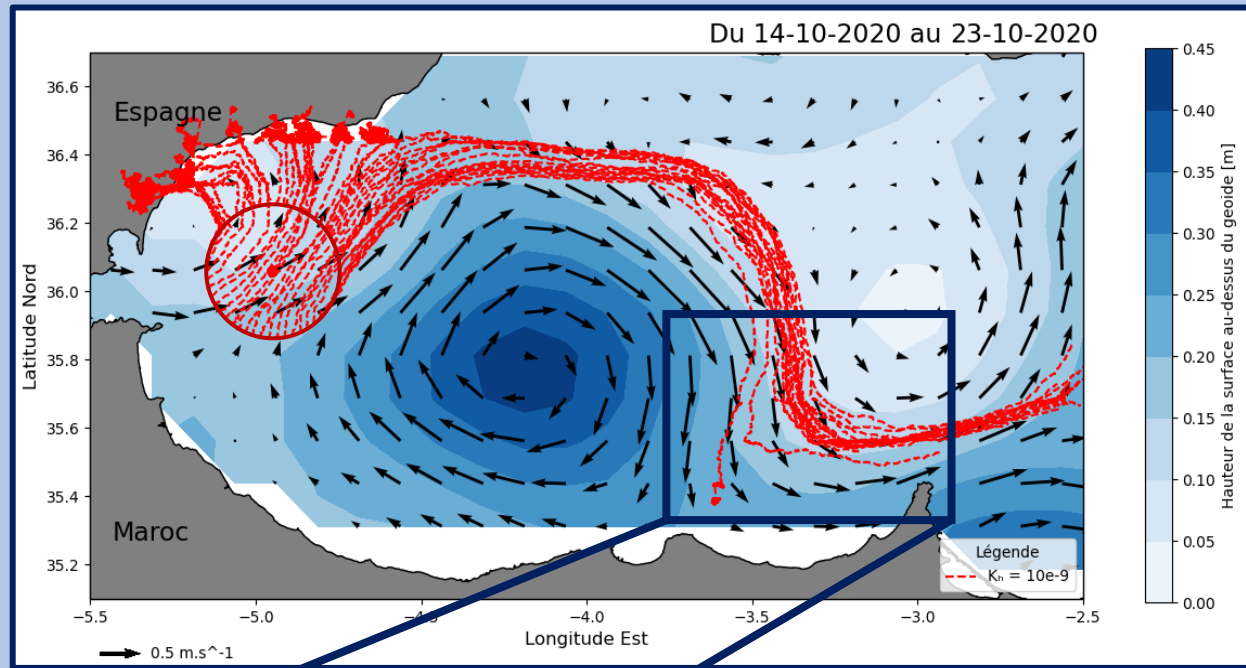
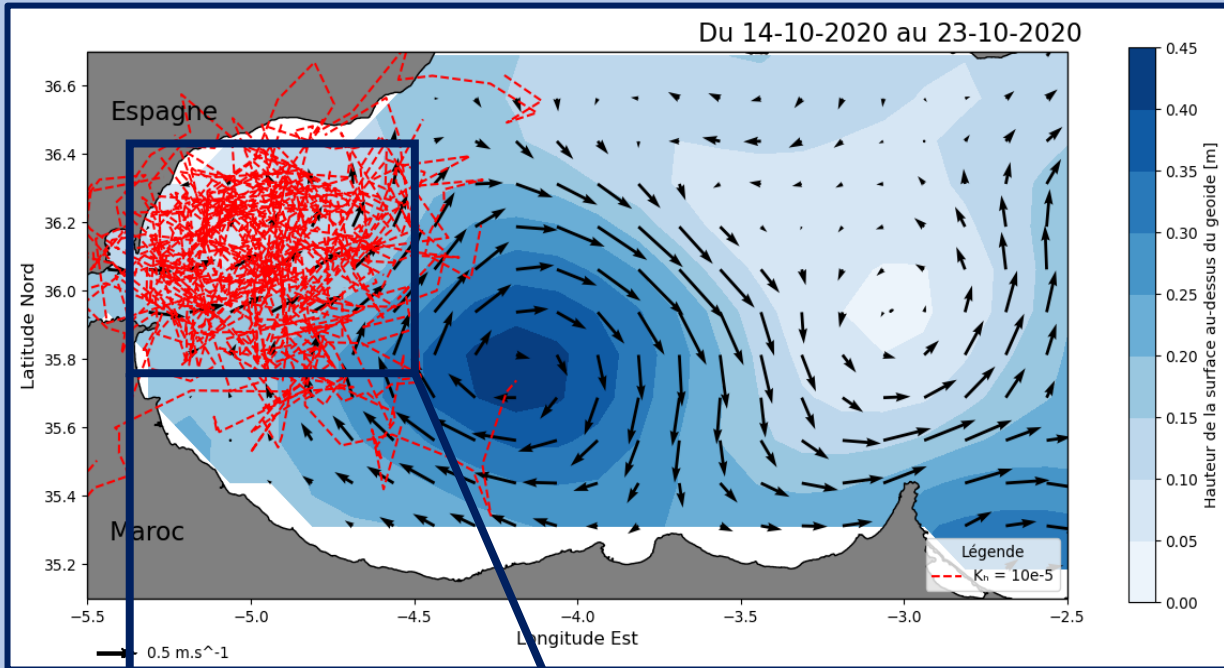
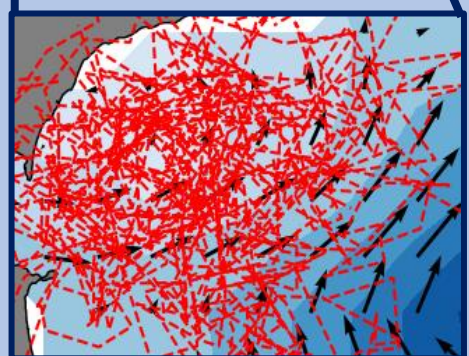
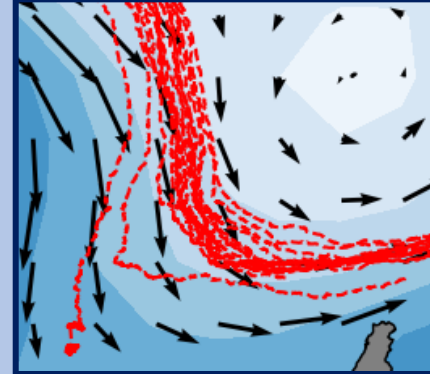


Fig. 8. Test du coefficient de diffusion pour $K_H = 10^{-5} \text{ m}^2.\text{s}^{-1}$



La diffusion prédomine l'advection

Fig. 9. Test du coefficient de diffusion pour $K_H = 10^{-9} \text{ m}^2.\text{s}^{-1}$



L'advection prédomine la diffusion

Tests du coefficient de diffusion K_H

Champ variable sur 10 jours

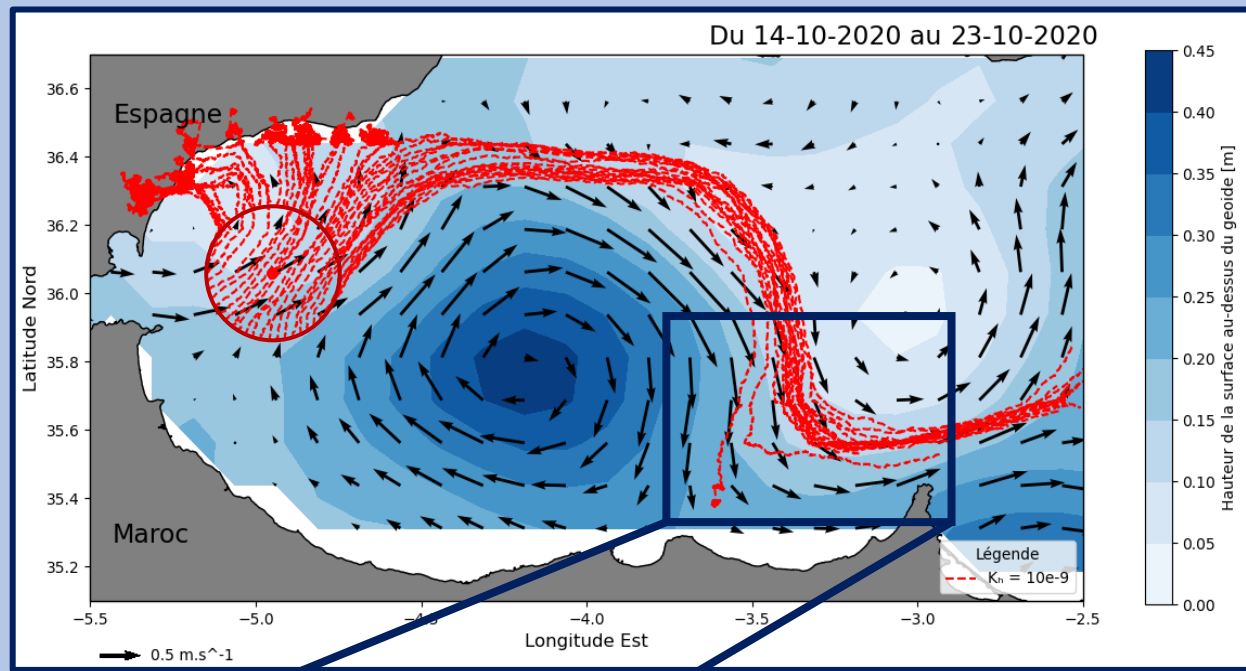
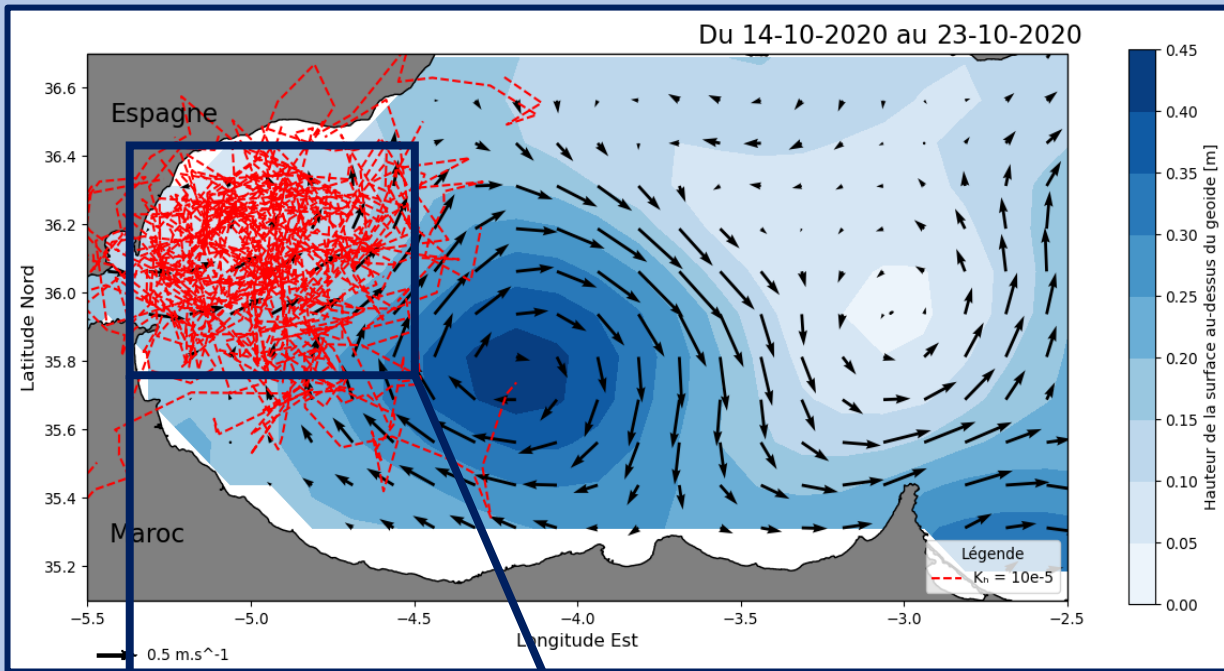
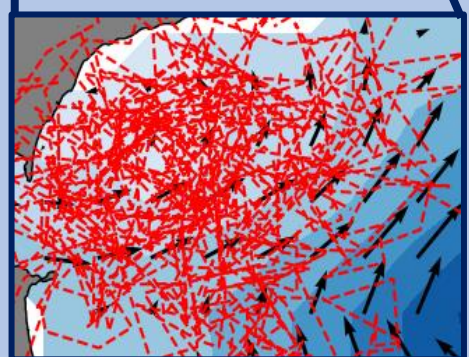
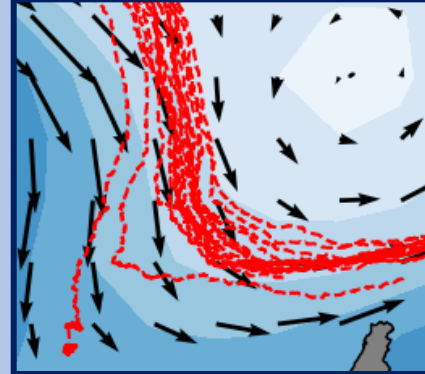


Fig. 8. Test du coefficient de diffusion pour $K_H = 10^{-5} \text{ m}^2.\text{s}^{-1}$



La diffusion prédomine l'advection

Fig. 9. Test du coefficient de diffusion pour $K_H = 10^{-9} \text{ m}^2.\text{s}^{-1}$



L'advection prédomine la diffusion

K_H sélectionné

- $K_H = 10^{-9} \text{ m}^2.\text{s}^{-1}$
- [Qiu et al., 2011]

Comparaison des trajectoires simulées et des trajectoires des bouées de la campagne

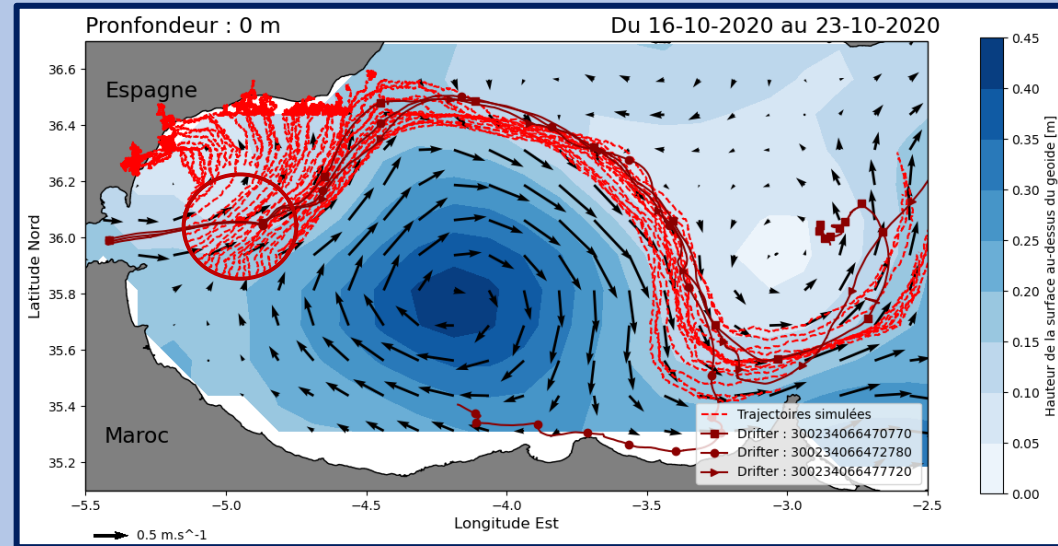


Fig. 10. Profondeur : 0 m; 50 particules

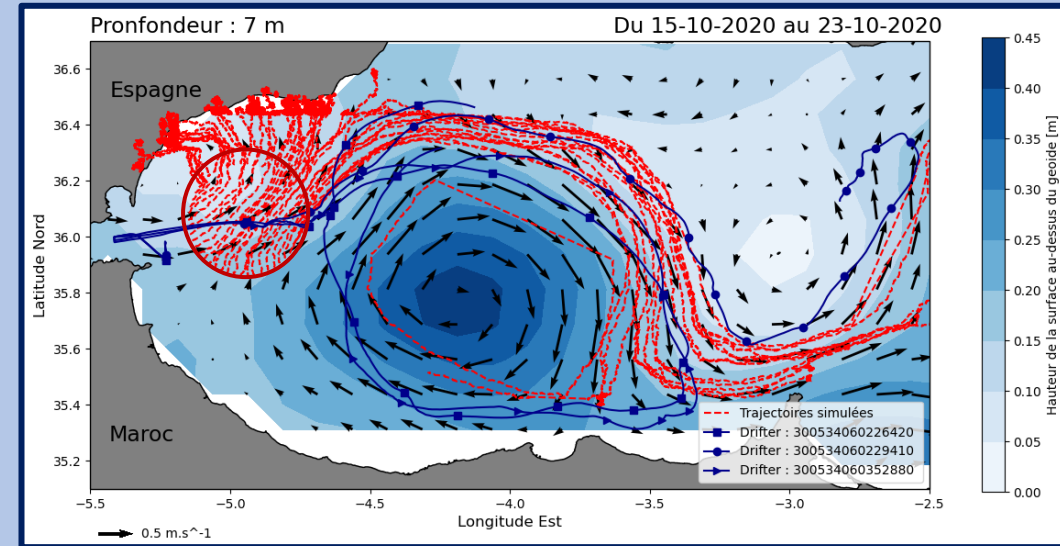


Fig. 11. Profondeur : 7 m; 50 particules

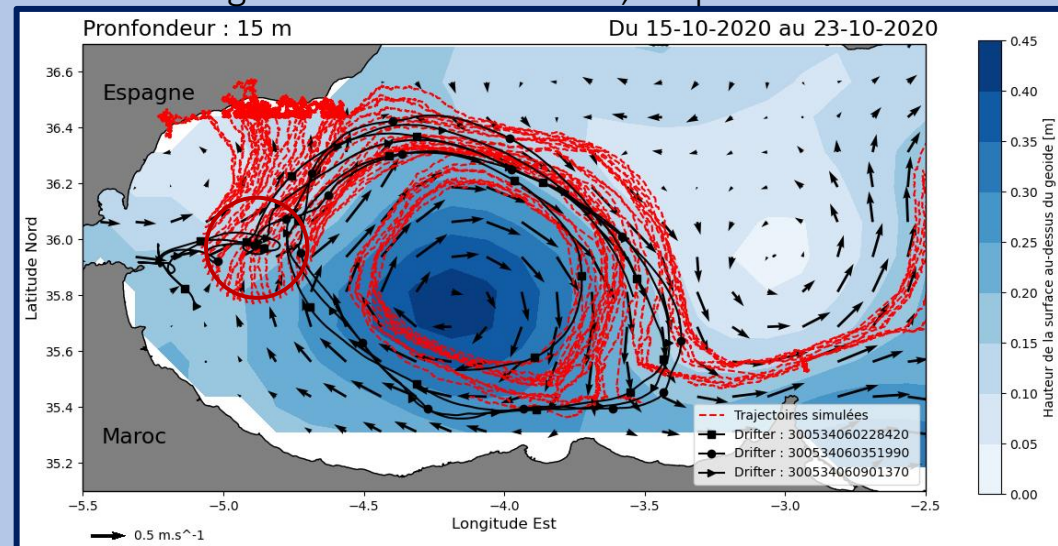


Fig. 12. Profondeur : 15 m; 50 particules

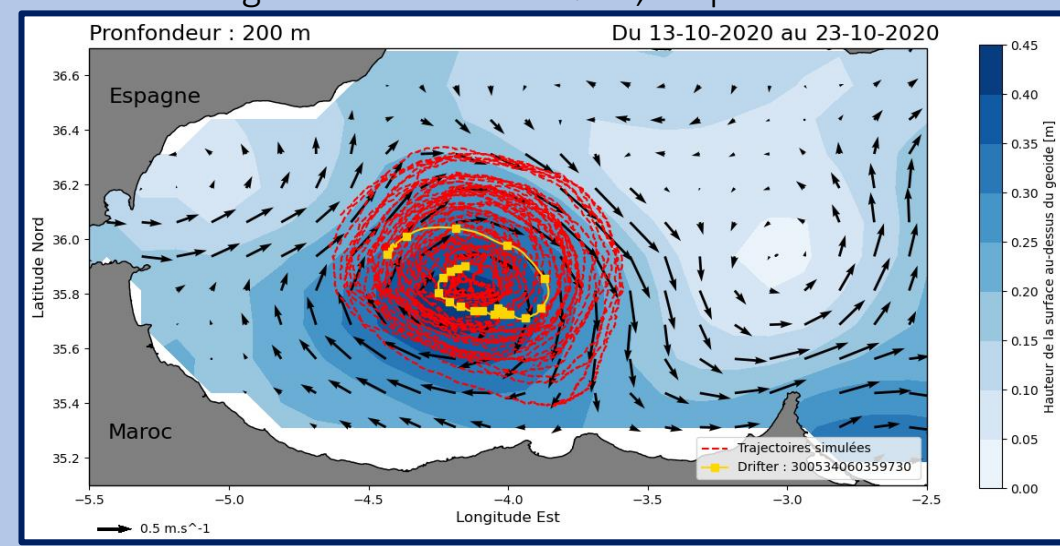


Fig. 13. Profondeur : 200 m; 10 particules

Comparaison des trajectoires simulées et des trajectoires des bouées de la campagne

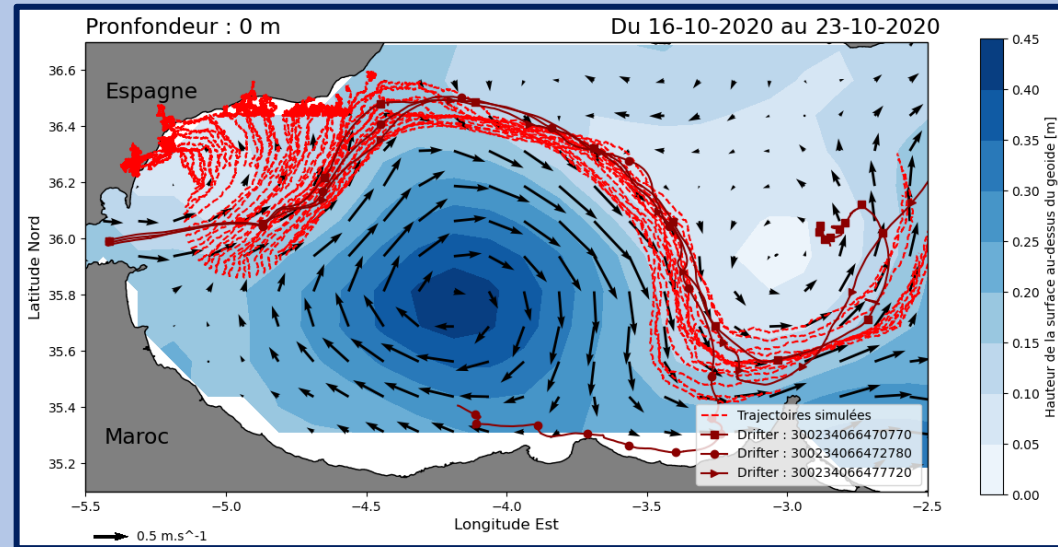


Fig. 10. Profondeur : 0 m; 50 particules

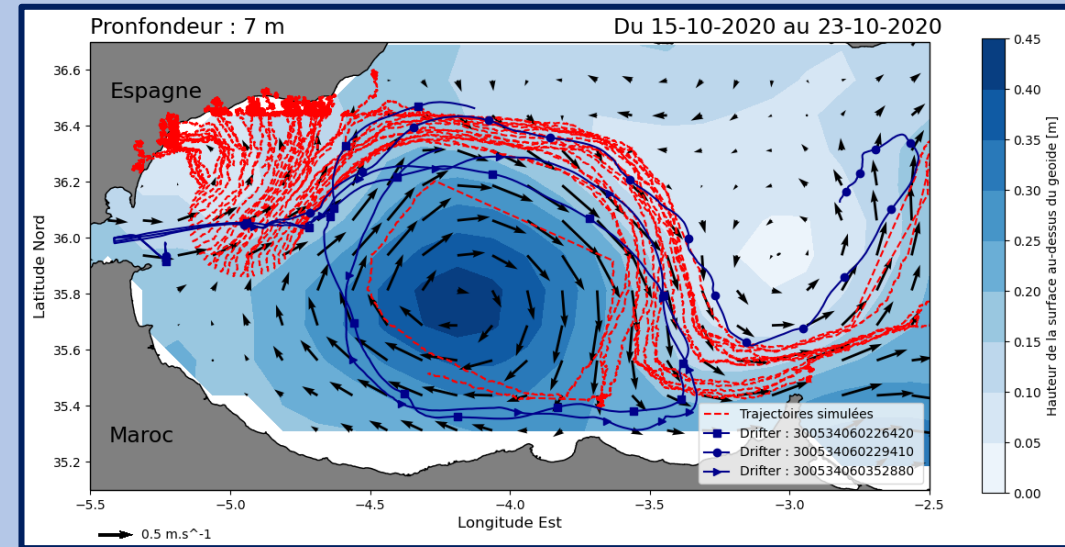


Fig. 11. Profondeur : 7 m; 50 particules

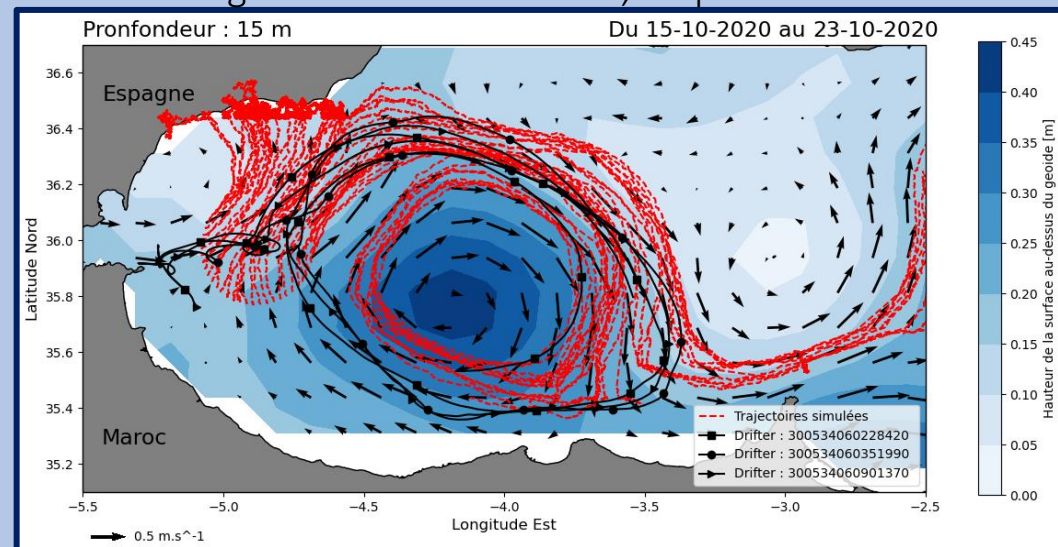


Fig. 12. Profondeur : 15 m; 50 particules

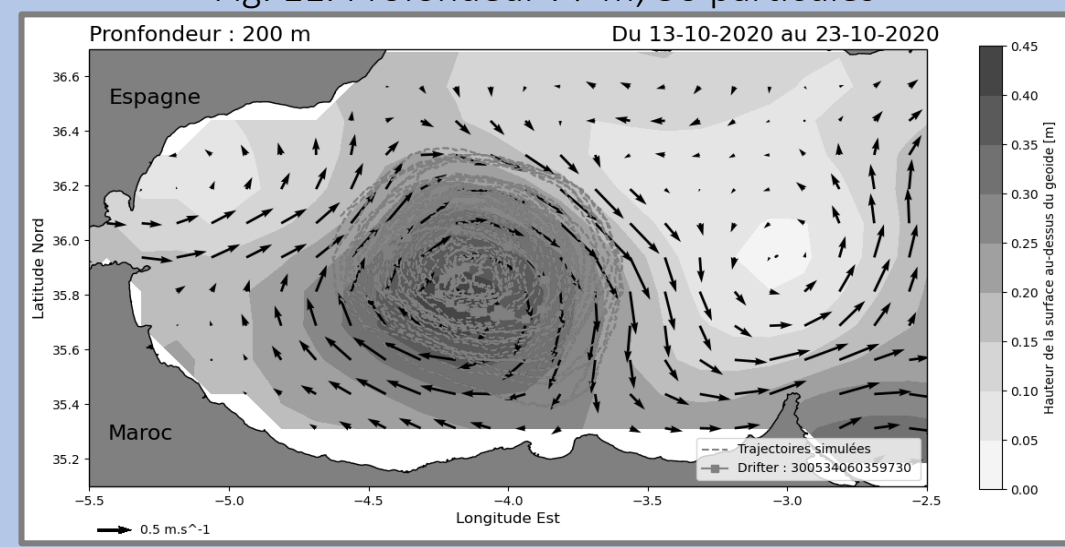


Fig. 13. Profondeur : 200 m; 10 particules

Comparaison des trajectoires simulées et des trajectoires des bouées de la campagne

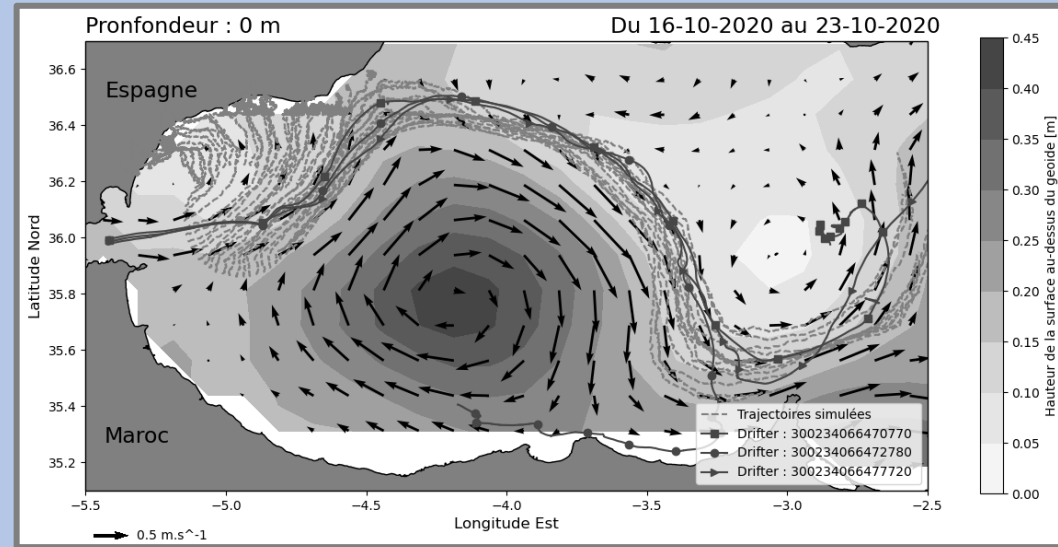


Fig. 10. Profondeur : 0 m; 50 particules

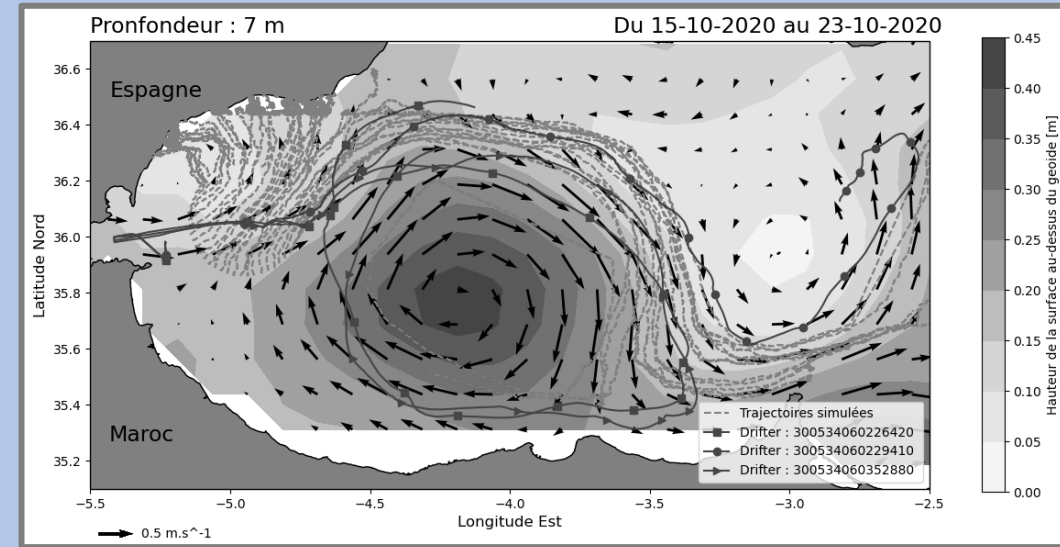


Fig. 11. Profondeur : 7 m; 50 particules

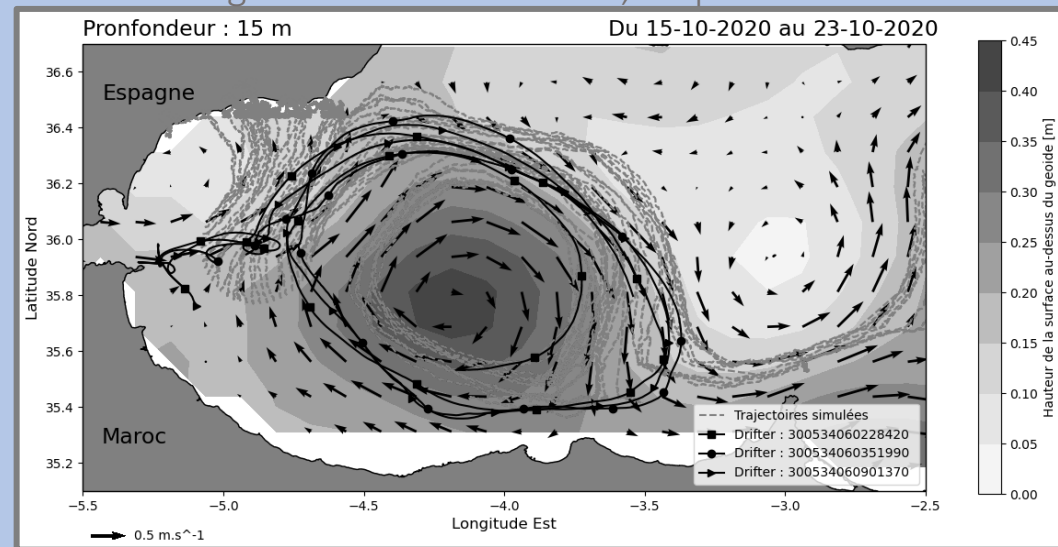


Fig. 12. Profondeur : 15 m; 50 particules

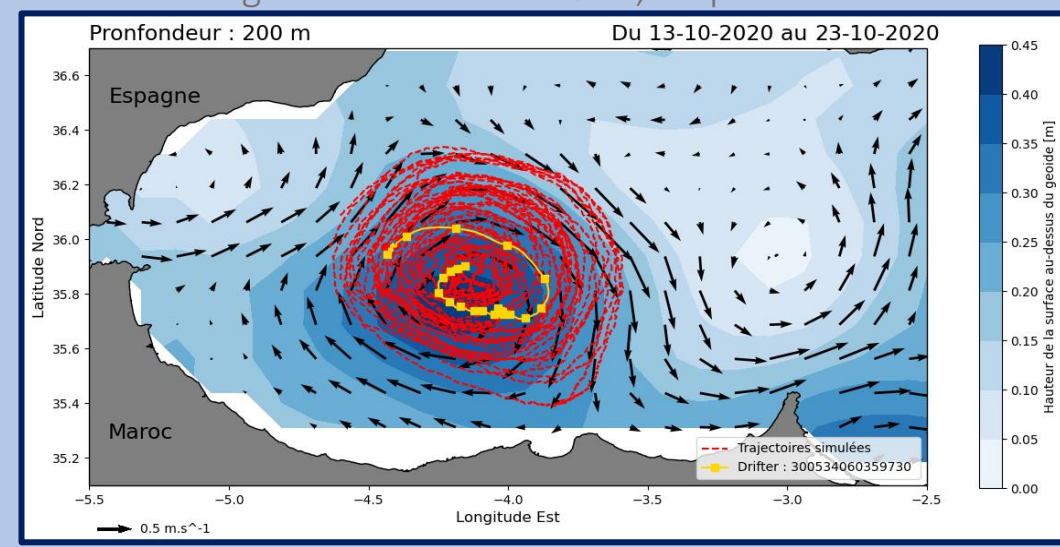


Fig. 13. Profondeur : 200 m; 10 particules

Interprétation des comparaisons des trajectoires

Profondeurs de surface

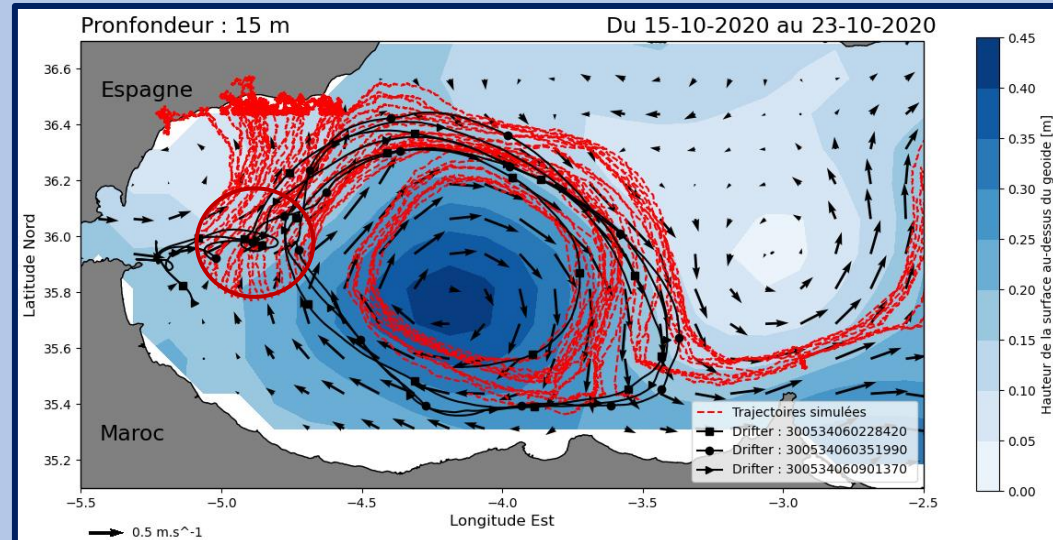


Fig. 14. Profondeur : 15 m; 50 particules

Interprétation des comparaisons des trajectoires

Profondeurs de surface

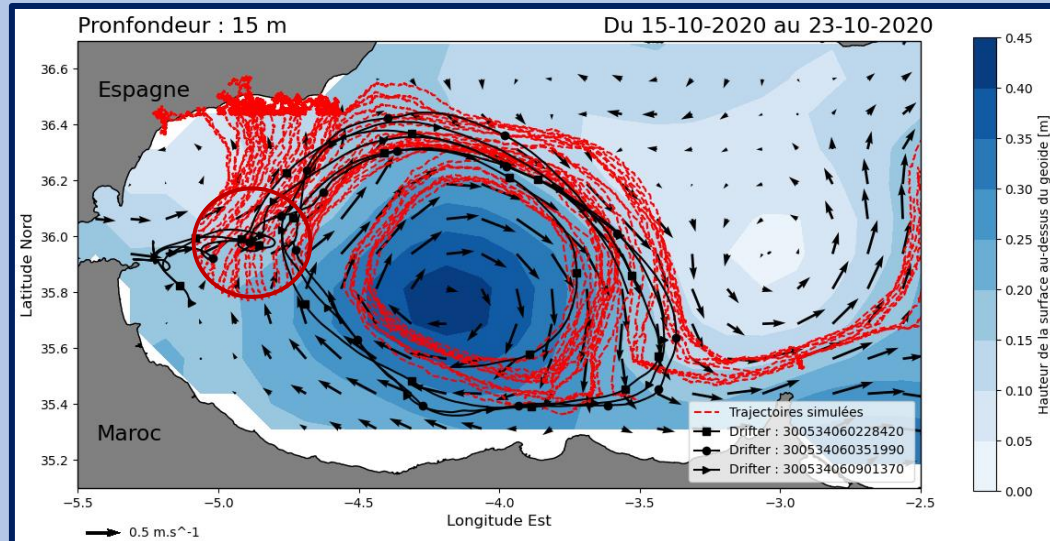


Fig. 14. Profondeur : 15 m; 50 particules

Constat

Origine

Trajectoires simulées
non similaires aux
trajectoires des bouées

Erreurs liées à une
insuffisance des
données d'entrée

Nécessité de
trajectoires moyennes

Interprétation des comparaisons des trajectoires

Profondeurs de surface

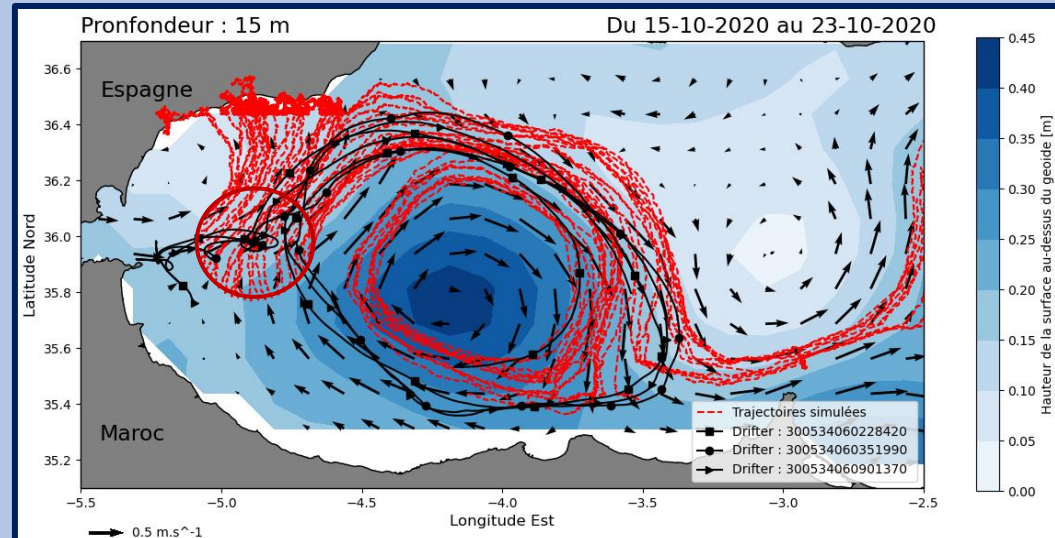


Fig. 14. Profondeur : 15 m; 50 particules

Profondeurs importantes

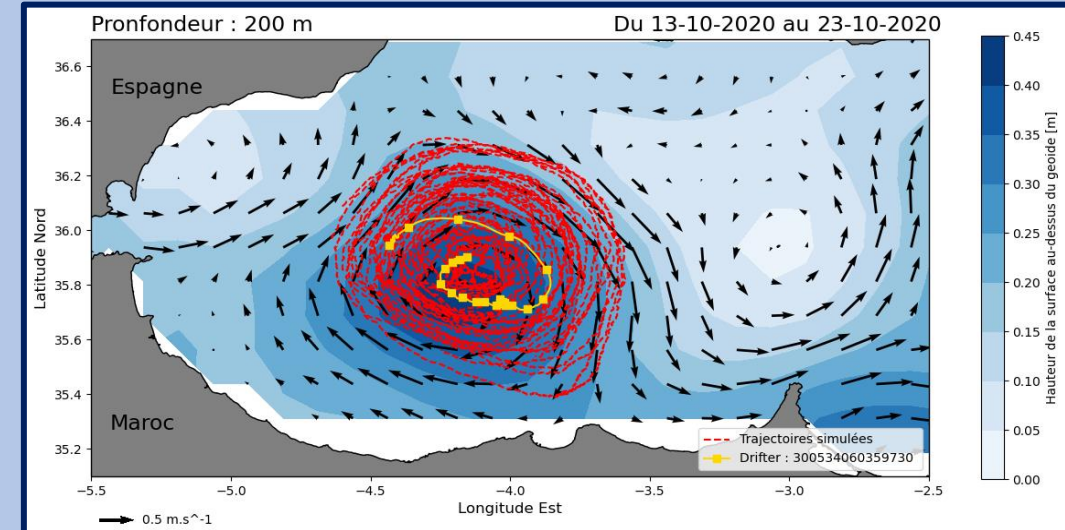


Fig. 15. Profondeur : 200 m; 10 particules

Constat

Origine

Trajectoires simulées
non similaires aux
trajectoires des bouées

Erreurs liées aux
données d'entrée

Nécessité de
trajectoires moyennes

Interprétation des comparaisons des trajectoires

Profondeurs de surface

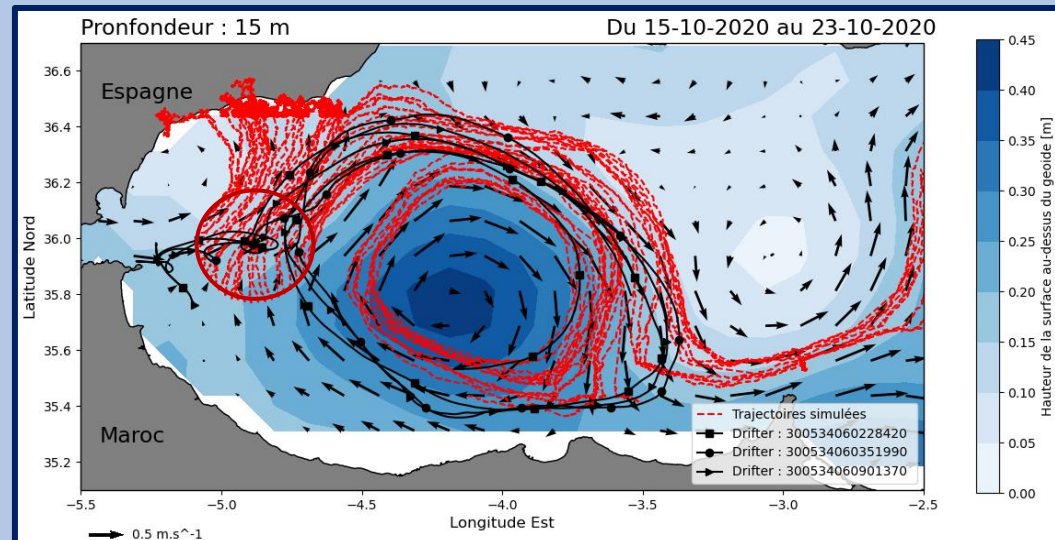


Fig. 14. Profondeur : 15 m; 50 particules

Constat

Trajectoires simulées non similaires aux trajectoires des bouées

Nécessité de trajectoires moyennes

Origine

Erreurs liées aux données d'entrée

Profondeurs importantes

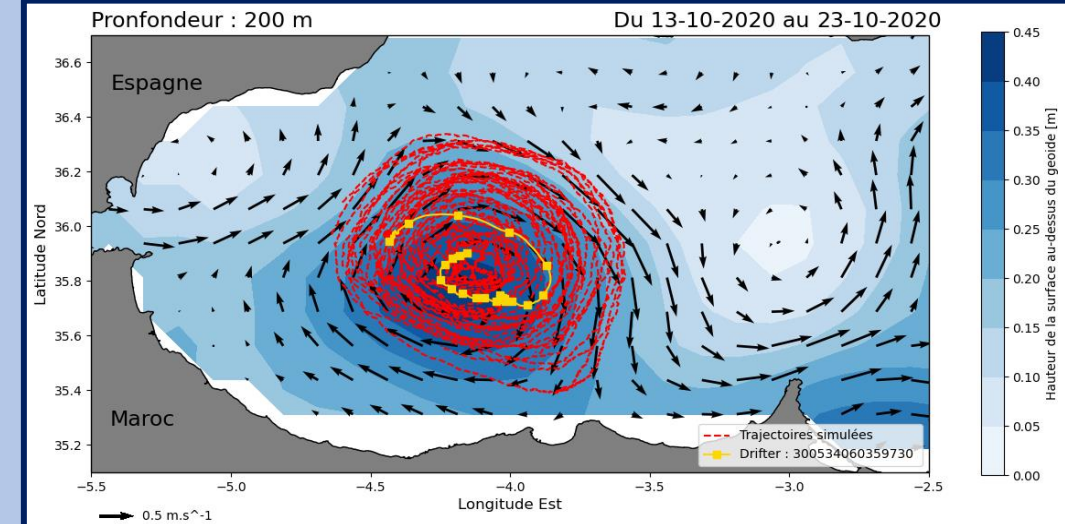


Fig. 15. Profondeur : 200 m; 10 particules

Constat

Vitesse lente des bouées ; Vitesse très rapide des particules simulées

Piégeage des particules dans la gyre

Origine

Intégration des trajectoires de surface

Des approximations à l'origine de sources d'erreurs

Erreurs liées au modèle numérique

Méthode d'Euler

Des approximations à l'origine de sources d'erreurs

Erreurs liées au modèle numérique

Méthode d'Euler

Simple à numériser

Fortes approximations
de la discrétisation

Des approximations à l'origine de sources d'erreurs

Erreurs liées au modèle numérique

Méthode d'Euler

Méthode Runge-Kutta

Simple à numériser

Fortes approximations
de la discrétisation

Des approximations à l'origine de sources d'erreurs

Erreurs liées au modèle numérique

Méthode d'Euler

Simple à numériser

Fortes approximations
de la discrétisation

Méthode Runge-Kutta

Repose sur le même
principe qu'Euler

Plus **complexe** & plus
fiable

Des approximations à l'origine de sources d'erreurs

Erreurs liées au modèle numérique

Méthode d'Euler

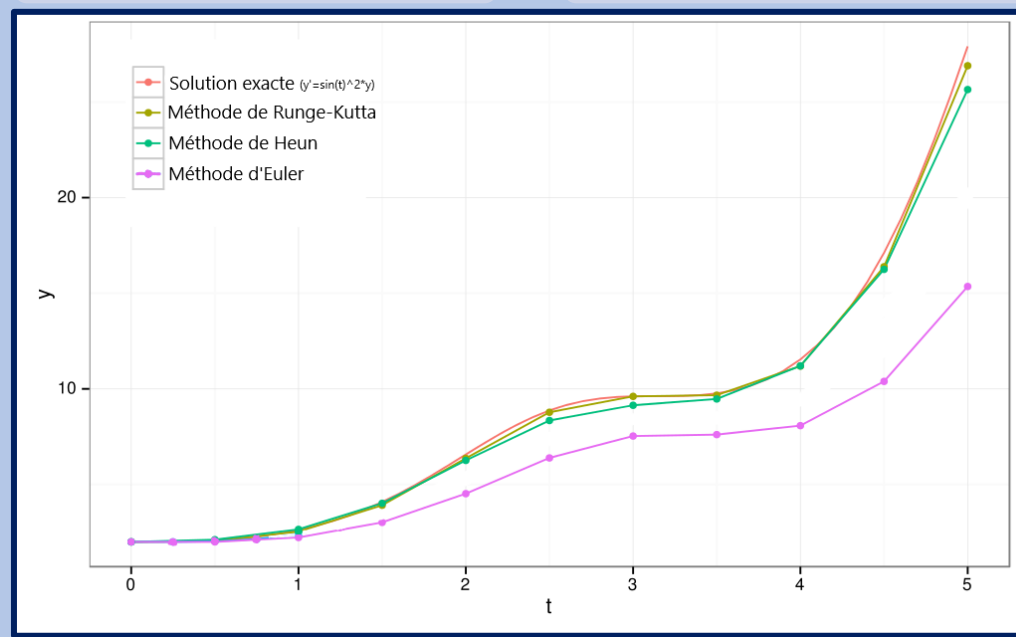
Simple à numériser

Fortes approximations de la discréttisation

Méthode Runge-Kutta

Repose sur le même principe qu'Euler

Plus complexe & plus fiable



Tiré et modifié à partir du site:

https://en.wikipedia.org/wiki/Runge%E2%80%93Kutta_methods

Fig. 16. Comparaison des méthodes d'Euler et Runge-Kutta, avec l'exemple de l'équation différentielle $y' = \sin(t)^2 y$

Des approximations à l'origine de sources d'erreurs

Erreurs liées au modèle numérique

Méthode d'Euler

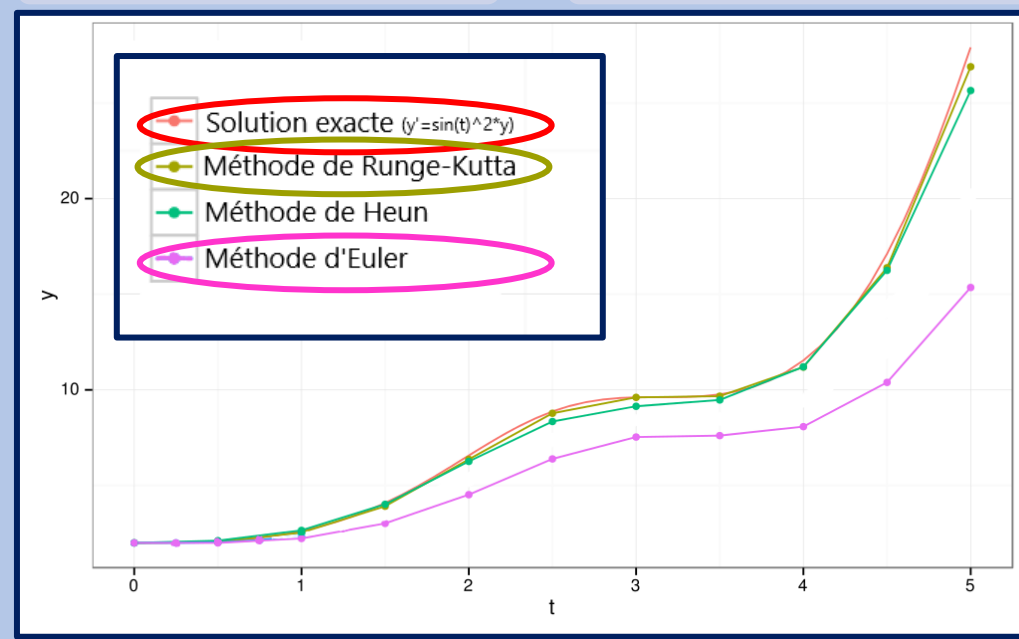
Simple à numériser

Fortes approximations de la discréttisation

Méthode Runge-Kutta

Repose sur le même principe qu'Euler

Plus complexe & plus fiable



Tiré et modifié à partir du site:

https://en.wikipedia.org/wiki/Runge%E2%80%93Kutta_methods

Fig. 16. Comparaison des méthodes d'Euler et Runge-Kutta, avec l'exemple de l'équation différentielle $y' = \sin(t)^2 y$

Des approximations à l'origine de sources d'erreurs

Erreurs liées au modèle numérique

Méthode d'Euler

Simple à numériser

Fortes approximations de la discréttisation

Méthode Runge-Kutta

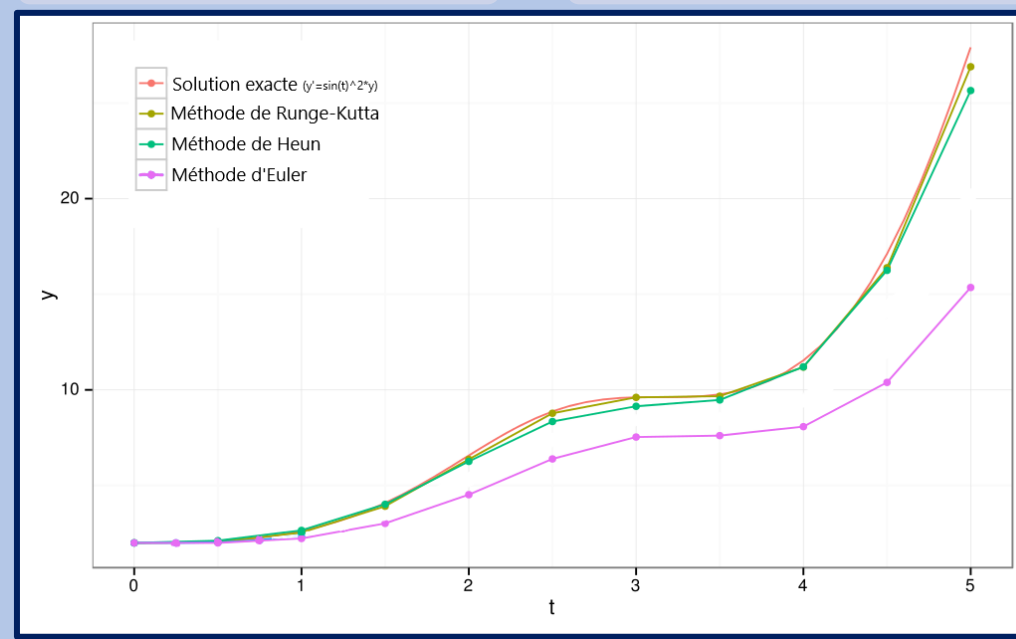
Repose sur le même principe qu'Euler

Plus complexe & plus fiable

Erreurs liées aux données d'entrée

Insuffisance des données d'entrée

Résolution trop faible de 1/8ème de degré



Tiré et modifié à partir du site:
https://en.wikipedia.org/wiki/Runge%E2%80%93Kutta_methods

Fig. 16. Comparaison des méthodes d'Euler et Runge-Kutta, avec l'exemple de l'équation différentielle $y' = \sin(t)^2 y$

Des approximations à l'origine de sources d'erreurs

Erreurs liées au modèle numérique

Méthode d'Euler

Simple à numériser

Fortes approximations de la discréétisation

Méthode Runge-Kutta

Repose sur le même principe qu'Euler

Plus complexe & plus fiable

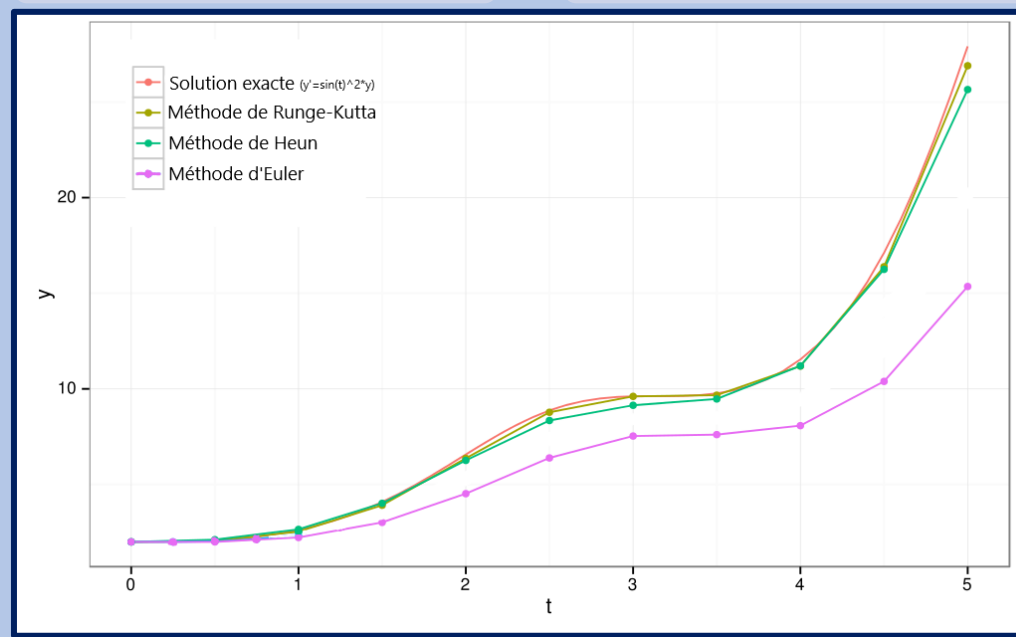
Erreurs liées aux données d'entrée

Insuffisance des données d'entrée

Résolution trop faible de 1/8ème de degré

Approximations des données d'entrée

Approximation géostrophique



Tiré et modifié à partir du site:
https://en.wikipedia.org/wiki/Runge%E2%80%93Kutta_methods

Fig. 16. Comparaison des méthodes d'Euler et Runge-Kutta, avec l'exemple de l'équation différentielle $y' = \sin(t)^2 y$

Des approximations à l'origine de sources d'erreurs

Erreurs liées au modèle numérique

Méthode d'Euler

Simple à numériser

Fortes approximations de la discréétisation

Méthode Runge-Kutta

Repose sur le même principe qu'Euler

Plus complexe & plus fiable

Erreurs liées aux données d'entrée

Insuffisance des données d'entrée

Résolution trop faible de 1/8^{ème} de degré

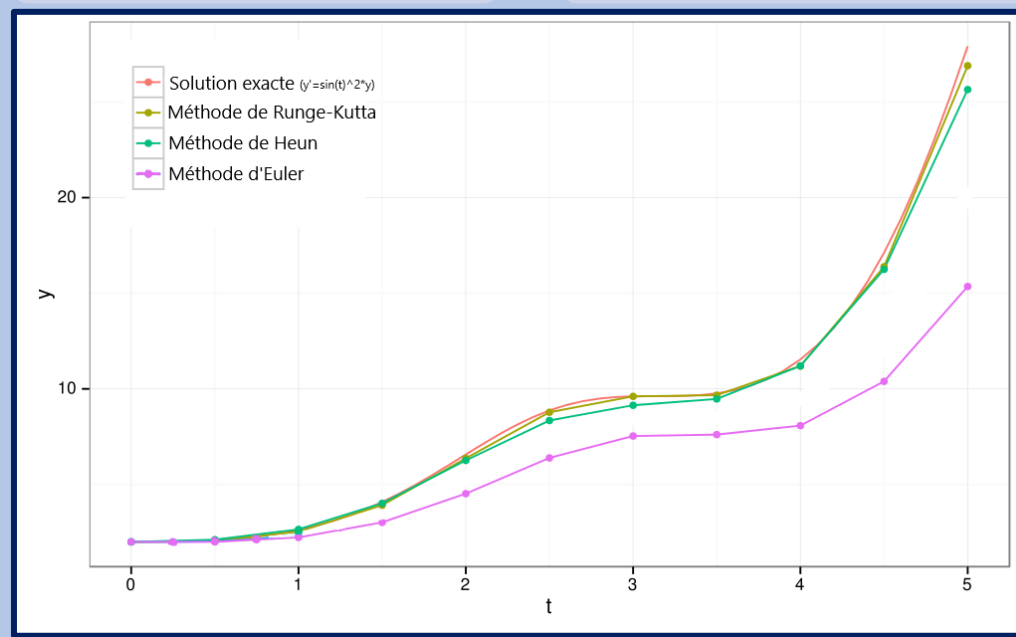
Approximations des données d'entrée

Approximation géostrophique

Erreurs liées à la projection cartographique

Erreur de conversion

Simple conversion des coordonnées métriques en degré



Tiré et modifié à partir du site:

https://en.wikipedia.org/wiki/Runge%E2%80%93Kutta_methods

Fig. 16. Comparaison des méthodes d'Euler et Runge-Kutta, avec l'exemple de l'équation différentielle $y' = \sin(t)^2 y$

Application du modèle pour la campagne PARTY

Chef de mission

Frederic Le Moigne,
chercheur au MIO

Application du modèle pour la campagne PARTY

Chef de mission

Cadre spatio-temporel

Frederic Le Moigne,
chercheur au MIO

Au large de Saint-Tropez, du
03/05/2021 au 09/05/2021

Application du modèle pour la campagne PARTY

Chef de mission

Cadre spatio-temporel

Objectifs de la campagne

Frederic Le Moigne,
chercheur au MIO

Au large de Saint-Tropez, du
03/05/2021 au 09/05/2021

Analyses chimiques à partir
de prélèvements *in situ* de
neige marine

Application du modèle pour la campagne PARTY

Chef de mission

Cadre spatio-temporel

Objectifs de la campagne

Moyens

Frederic Le Moigne,
chercheur au MIO

Au large de Saint-Tropez, du
03/05/2021 au 09/05/2021

Analyses chimiques à partir
de prélèvements *in situ* de
neige marine

Instruments montés sur des
lignes dérivantes

Application du modèle pour la campagne PARTY

Chef de mission

Cadre spatio-temporel

Objectifs de la campagne

Moyens

Frederic Le Moigne,
chercheur au MIO

Au large de Saint-Tropez, du
03/05/2021 au 09/05/2021

Analyses chimiques à partir
de prélèvements *in situ* de
neige marine

Instruments montés sur des
lignes dérivantes

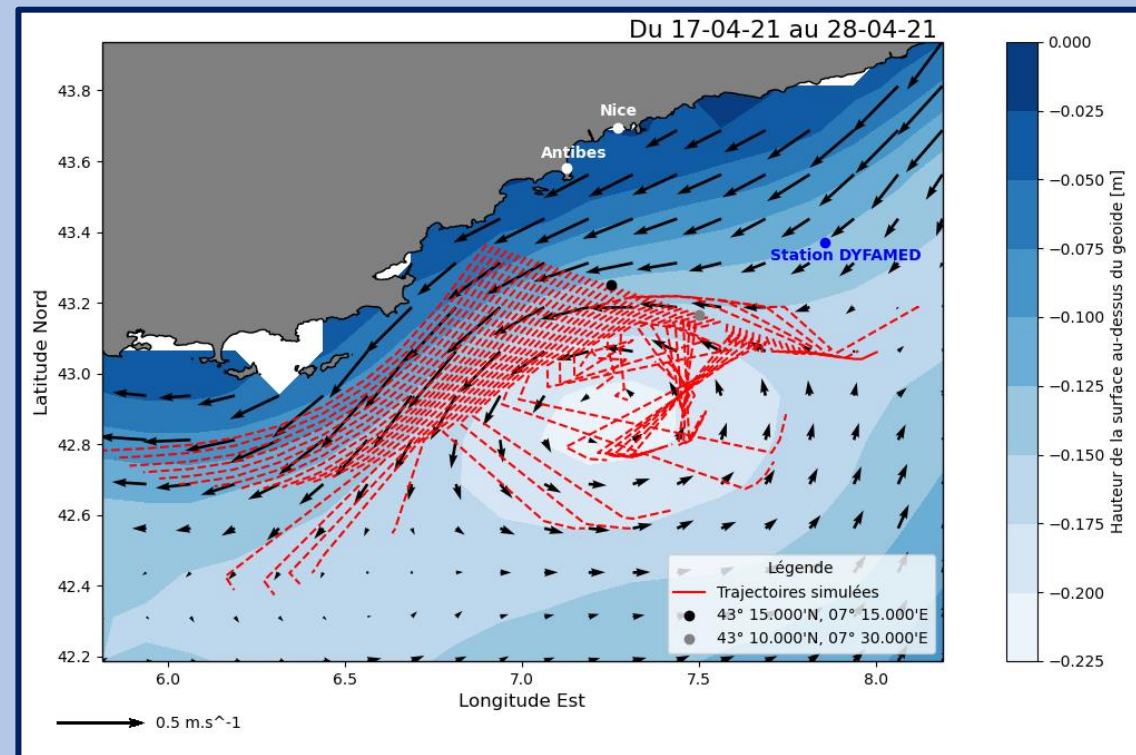


Fig. 17. Simulation de trajectoires au large de Saint-Tropez

Application du modèle pour la campagne PARTY

Chef de mission

Cadre spatio-temporel

Objectifs de la campagne

Moyens

Frederic Le Moigne,
chercheur au MIO

Au large de Saint-Tropez, du
03/05/2021 au 09/05/2021

Analyses chimiques à partir
de prélèvements *in situ* de
neige marine

Instruments montés sur des
lignes dérivantes

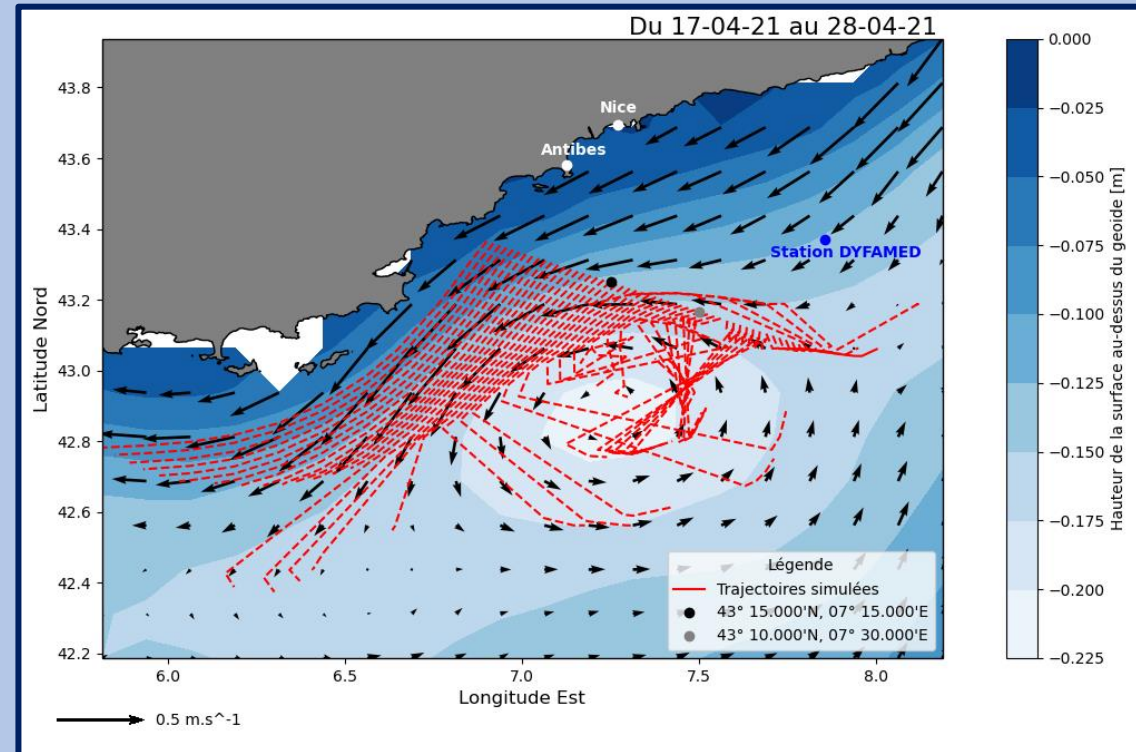


Fig. 17. Simulation de trajectoires au large de Saint-Tropez

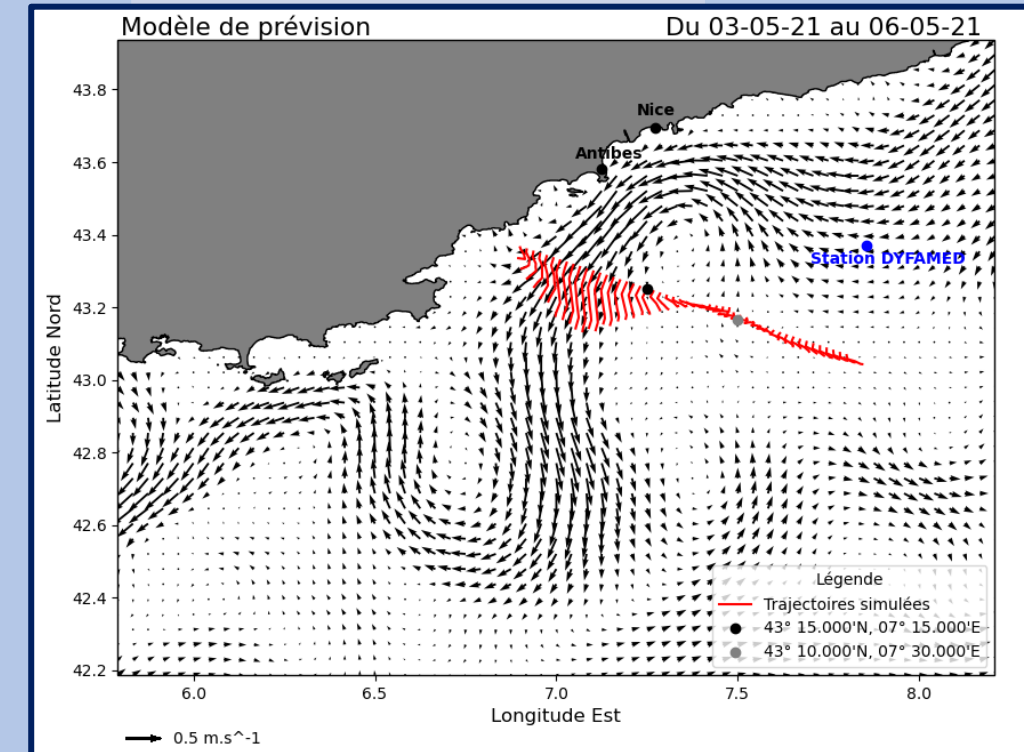


Fig. 18. Modèle de prévision au large de Saint-Tropez

Application du modèle pour la campagne PARTY

Chef de mission

Cadre spatio-temporel

Objectifs de la campagne

Moyens

Frederic Le Moigne,
chercheur au MIO

Au large de Saint-Tropez, du
03/05/2021 au 09/05/2021

Analyses chimiques à partir
de prélèvements *in situ* de
neige marine

Instruments montés sur des
lignes dérivantes

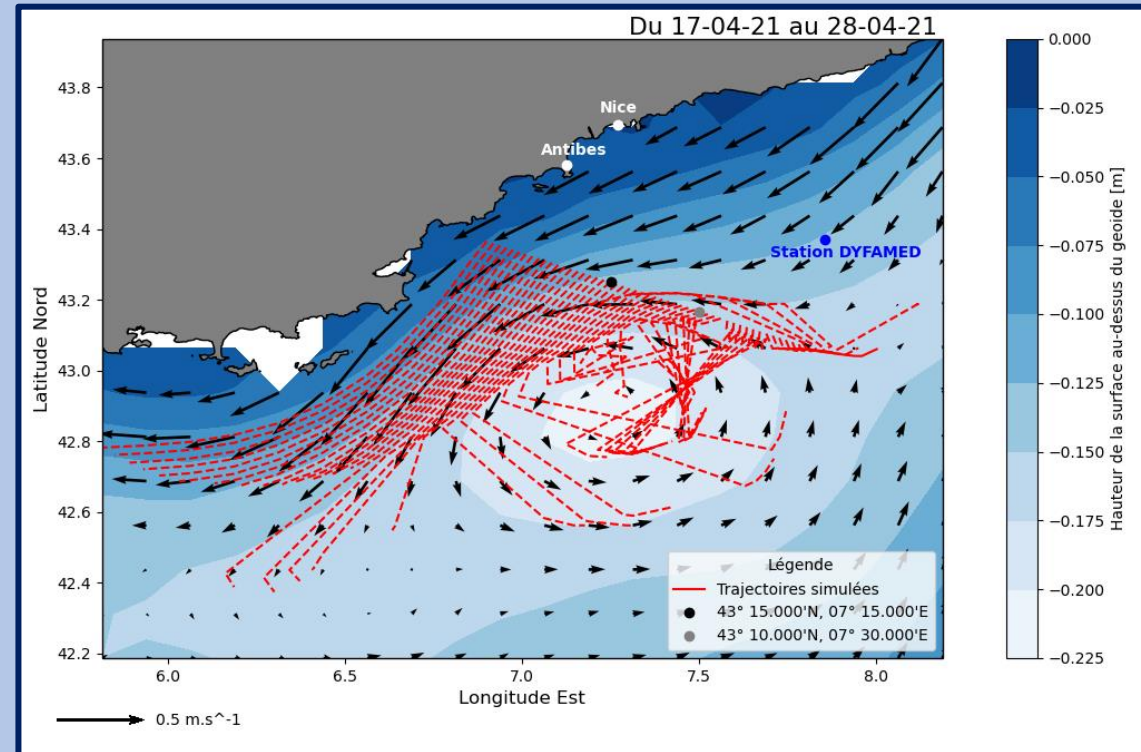


Fig. 17. Simulation de trajectoires au large de Saint-Tropez

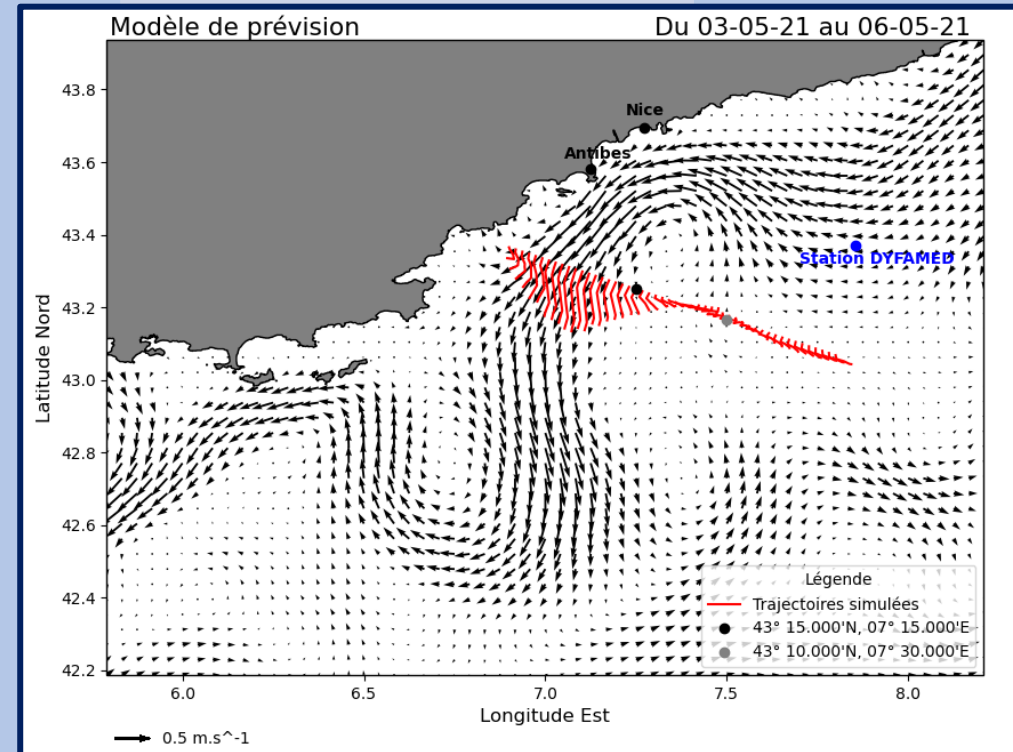


Fig. 18. Modèle de prévision au large de Saint-Tropez

Zone de largage

- 43° 15'N
7° 15'E

Schéma d'Euler

Modèle développé en langage
Python

Schéma d'Euler

Modèle développé en langage
Python

Avantages

- Pratique, simple d'utilisation
- Adaptable
- ➔ Très satisfaisant

Schéma d'Euler

Modèle développé en langage
Python

Avantages

- Pratique, simple d'utilisation
- Adaptable
- → Très satisfaisant

Limites

- Pas de prévision avec précision des trajectoires des bouées dérivantes

Schéma d'Euler

Modèle développé en langage Python

Avantages

- Pratique, simple d'utilisation
- Adaptable
- → Très satisfaisant

Limites

- Pas de prévision avec précision des trajectoires des bouées dérivantes

Perspectives

Schéma d'Euler

Modèle développé en langage Python

Avantages

- Pratique, simple d'utilisation
- Adaptable
- → Très satisfaisant

Limites

- Pas de prévision avec précision des trajectoires des bouées dérivantes

Perspectives

Données d'entrée avec une plus haute résolution

Schéma d'Euler

Modèle développé en langage Python

Avantages

- Pratique, simple d'utilisation
- Adaptable
- → Très satisfaisant

Limites

- Pas de prévision avec précision des trajectoires des bouées dérivantes

Perspectives

Données d'entrée avec une plus haute résolution

Amélioration du **modèle numérique** par l'utilisation de la méthode Runge-Kutta

Schéma d'Euler

Modèle développé en langage Python

Avantages

- Pratique, simple d'utilisation
- Adaptable
- → Très satisfaisant

Limites

- Pas de prévision avec précision des trajectoires des bouées dérivantes

Perspectives

Données d'entrée avec une plus haute résolution

Amélioration du **modèle numérique** par l'utilisation de la méthode Runge-Kutta

Conversion plus précise pour la **projection cartographique**

Merci pour votre attention



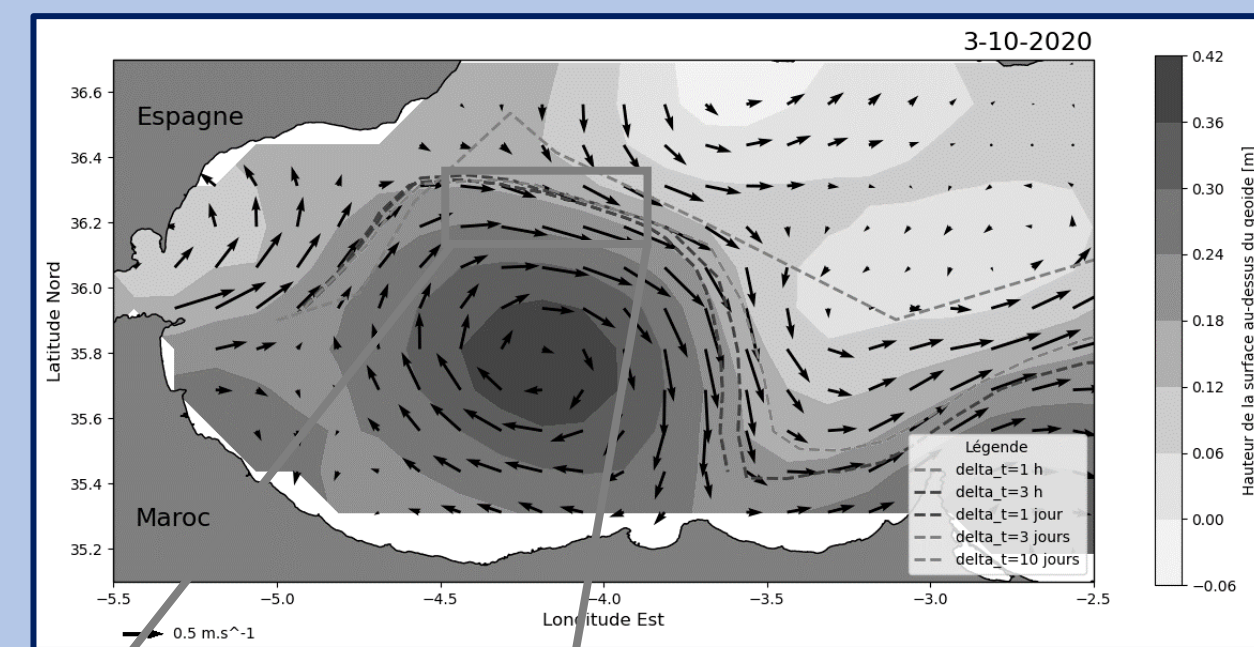
Fig. 19. Situation de surface du détroit de Gibraltar et de la mer d'Alboran

Références

- Alvaro, P., Dimitri, B. & Ana, T., 2013. The Alboran Sea mesoscale in a long term high resolution simulation: Statistical analysis. \textit{Ocean modelling}, 72 :32-52
- Claude, M., Julio, C., Jean-Luc, F., & Youssef, T., 2006. Large warming and salinification of the mediterranean outflow due to changes in its composition. \textit{Deep Sea Research Part I : Oceanographic Research Papers}, 53(4) :656–667.
- Cristina, N., Simone, S., Jesús, G., María, J., & Isabelle, T., 2015. Mediterranean waters along and across the strait of gibraltar, characterization and zonal modification. \textit{Deep Sea Research Part I : Oceanographic Research Papers}, 105 :41–52.
- Meloni, M., Bouffard, J., Doglioli, A. M., Petrenko, A., and Valladeau, G., 2019. Toward science-oriented validations of coastal altimetry : Application to the Ligurian Sea. \textit{Remote Sensing of Environment}, 224 :275–288.
- Qiu, Z., Doglioli, A. M., He, Y., & Carlotti, F., 2011. Lagrangian model of zooplankton dispersion : numerical schemes comparisons and parameter sensitivity tests. \textit{Chinese Journal of Oceanology and Limnology}, 29(2) :438–445.
- Sergey S., Tigny V., Stanichnaya R., & Salim D., 2005. Wind driven upwelling along the african coast of the strait of gibraltar. \textit{Geophysical research letters}, 32(4).

ANNEXE : Tests de sensibilité du pas de temps Δt à partir de la composante advective

Champ stationnaire sur 3 mois



Champ variable sur 3 mois

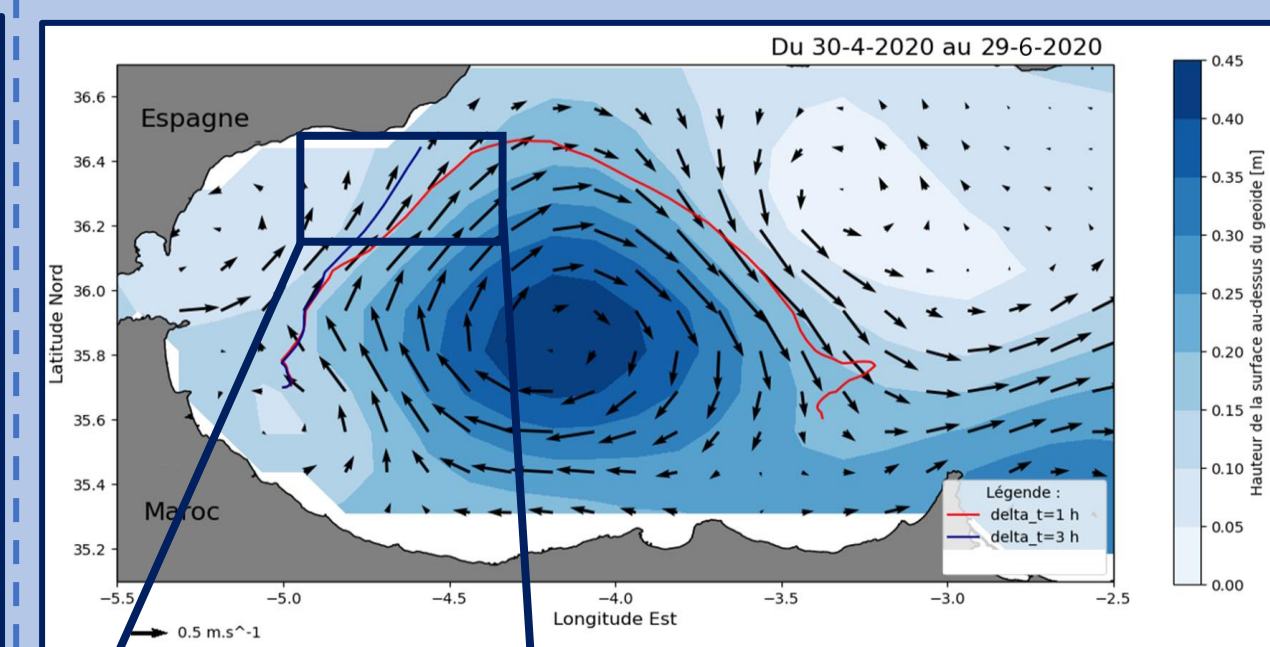


Fig. 6. Test de sensibilité n°1 pour $\Delta t=1$ h ; $\Delta t=3$ h ; $\Delta t=1$ j ; $\Delta t=3$ j ; $\Delta t=10$ j

Fig. 7. Test de sensibilité n°2 pour $\Delta t=1$ h et $\Delta t=3$ h

Δt présélectionnés

- $\Delta t = 1$ h
- $\Delta t = 3$ h

Δt sélectionné

- $\Delta t = 1$ h

Condition
d'échouage intégrée

